

ΠΡΟΔΙΑΓΡΑΦΕΣ IDCO ΓΙΑ LATITUDE INTEGRATION

LATITUDE™ NXT

Σύστημα διαχείρισης ασθενή LATITUDE NXT

Outdated version. Do not use.
Version überholt. Nicht verwenden.
Version obsolète. Ne pas utiliser.
Versión obsoleta. No utilizar.
Versione obsoleta. Non utilizzare.
Verouderde versie. Niet gebruiken.
Föråldrad version. Använd ej.
Παλιά έκδοση. Μην την χρησιμοποιείτε.
Versão obsoleta. Não utilize.
Forældet version. Må ikke anvendes.
Zastaralá verze. Nepoužívat.
Utdatert versjon. Skal ikke brukes.
Zastaraná verzia. Nepoužívať.
Elavult verzió. Ne használja!
Wersja nieaktualna. Nie używać.

Outdated version. Do not use.
Version überholt. Nicht verwenden.
Version obsolète. Ne pas utiliser.
Versión obsoleta. No utilizar.
Versione obsoleta. Non utilizzare.
Verouderde versie. Niet gebruiken.
Föråldrad version. Använd ej.
Παλιά έκδοση. Μην την χρησιμοποιείτε.
Versão obsoleta. Não utilize.
Forældet version. Må ikke anvendes.
Zastaralá verze. Nepoužívat.
Utdatert versjon. Skal ikke brukes.
Zastaraná verzia. Nepoužívať.
Elavult verzió. Ne használja!
Wersja nieaktualna. Nie używać.

Το σύστημα απομακρυσμένης παρακολούθησης ασθενών LATITUDE της Boston Scientific δημιουργεί μηνύματα εμφυτεύσιμης συσκευής παρακολούθησης καρδιακού ρυθμού (IDCO) σύμφωνα με τις προδιαγραφές και τους ορισμούς που δημοσιεύονται στο παρόν έγγραφο. Τα μηνύματα συμμορφώνονται με το προφίλ Integrating the Healthcare Enterprise (IHE) Patient Care Device (PCD) Technical Framework IDCO. Αυτά τα μηνύματα χρησιμοποιούνται για την αποστολή δεδομένων ασθενών στο σύστημα ηλεκτρονικών ιατρικών αρχείων (EMR) ή το σύστημα κλινικών πληροφοριών (CIS).

Το παρόν έγγραφο προορίζεται για πελάτες του Boston Scientific (BSC) LATITUDE οι οποίοι (1) ενσωματώνουν μηνύματα IDCO σε ένα EMR και (2) χρησιμοποιούν συστήματα EMR ή CIS για την παρακολούθηση και τη διαχείριση δεδομένων ασθενών. Η πρώτη ενότητα του παρόντος εγγράφου («Προδιαγραφές μηνυμάτων LATITUDE IDCO») προορίζεται πρωτίστως για το τεχνικό προσωπικό που συμμετέχει στην πραγματοποίηση της ενσωμάτωσης μηνυμάτων, ενώ η δεύτερη ενότητα προορίζεται κυρίως για τους ιατρούς ως περαιτέρω αποσαφήνιση της έκδοσης των δεδομένων της Boston Scientific που περιλαμβάνονται στο μήνυμα.

ΣΗΜΕΙΩΣΕΙΣ: Λαμβάνεται ως δεδομένο ότι οι αναγνώστες αυτής της ενότητας είναι εξοικειωμένοι με την ορολογία, τη σύνταξη προδιαγραφών, τους τύπους δεδομένων, τις δομές μηνυμάτων και τη σημασιολογία HL7 και IDCO για τα μηνύματα IDCO. Για περισσότερες πληροφορίες, ανατρέξτε στις εξής διευθύνσεις:

- www.hl7.org για τα μηνύματα HL7
- www.ihe.net για τα μηνύματα IDCO
- http://ihe.net/Technical_Framework/index.cfm#pcd for PCD-09 Technical Framework (περιλαμβάνει τους τόμους 1, 2 και 3)
- <http://standards.ieee.org/findstds/standard/11073-10103-2012.html> για την ονοματολογία IEEE IDCO

Outdated version. Do not use.
Version überholt. Nicht verwenden.
Version obsolète. Ne pas utiliser.
Versión obsoleta. No utilizar.
Versione obsoleta. Non utilizzate.
Verouderde versie. Niet gebruiken.
Föråldrad version. Använd ej.
Παλιά έκδοση. Μην την χρησιμοποιείτε.
Versão obsoleta. Não utilize.
Forældet version. Må ikke anvendes.
Zastaralá verze. Nepoužívat.
Utdatert versjon. Skal ikke brukes.
Zastaraná verzia. Nepoužívať.
Elavult verzió. Ne használja!
Wersja nieaktualna. Nie używać.

ΠΙΝΑΚΑΣ ΠΕΡΙΕΧΟΜΕΝΩΝ

ΠΡΟΔΙΑΓΡΑΦΕΣ ΜΗΝΥΜΑΤΩΝ LATITUDE IDCO	1-1
Κεφάλαιο 1	
Προδιαγραφές μηνυμάτων Latitude IDCO	1-2
Δομή τμήματος	1-2
Δομή τμήματος MSH	1-2
Δομή τμήματος PID	1-2
Τυπικό αναγνωριστικό ασθενούς IDCO (πρώτο αναγνωριστικό στη λίστα)	1-2
Αναγνωριστικό ασθενούς Latitude (δεύτερο αναγνωριστικό στη λίστα)	1-3
Δομή τμήματος PV1	1-3
Δομή τμήματος PV2	1-3
Δομή τμήματος OBR	1-3
Δομή τμήματος OBX	1-4
Παράμετροι εξόδου	1-4
Δομή τμήματος NTE	1-4
Αναφορές	1-5
Αναφορά Αναπαράστασης ΗΓΜ	1-5
Αναφορά Συνδυασμένης Παρακολούθησης	1-5
Αναφορά μητρώου αρρυθμιών	1-5
Αναφορά™ HF PERSPECTIV	1-5
Τίτλοι Αναφοράς στο Μήνυμα	1-5
Βασικοί Όροι	1-5
ΜΕΤΑΤΡΟΠΗ ΔΕΔΟΜΕΝΩΝ ΕΜΦΥΤΕΥΜΕΝΗΣ ΣΥΣΚΕΥΗΣ ΣΕ ΜΗΝΥΜΑΤΑ IDCO	2-1
Κεφάλαιο 2	
Κατάσταση Μπαταρίας	2-2
SET_BRADY_SENSOR_TYPE	2-2
Χαρτογράφηση Επεισοδίου	2-2
Χαρτογράφηση Μετρητών	2-4
Χαρτογράφηση Διαμορφώσεων Απαγωγής	2-5
Περιορισμοί του Συστήματος	2-5
Ορισμοί συναγερμών και προειδοποιήσεων	2-6
Αναφορές	2-6
ΠΑΡΑΔΕΙΓΜΑ ΑΡΧΕΙΩΝ IDCO	3-1
Κεφάλαιο 3	
Παράδειγμα Αρχείων IDCO	3-2

Παραδειγμα Μηνύματος 1 – Συσκευή S-ICD.....	3-2
Παραδειγμα Μηνύματος 2 – Άλλες Συσκευές (Όχι S-ICD).....	3-4
ΣΥΜΒΟΛΑ ΠΟΥ ΧΡΗΣΙΜΟΠΟΙΟΥΝΤΑΙ ΣΤΙΣ ΕΤΙΚΕΤΕΣ.....	A-1
Παράρτημα Α	

Outdated version. Do not use.
Version überholt. Nicht verwenden.
Version obsolète. Ne pas utiliser.
Versión obsoleta. No utilizar.
Versione obsoleta. Non utilizzare.
Verouderde versie. Niet gebruiken.
Föråldrad version. Använd ej.
Παλιά έκδοση. Μην την χρησιμοποιείτε.
Versão obsoleta. Não utilize.
Forældet version. Må ikke anvendes.
Zastaralá verze. Nepoužívat.
Utdatert versjon. Skal ikke brukes.
Zastaraná verzia. Nepoužívať.
Elavult verzió. Ne használja!
Wersja nieaktualna. Nie używać.

Προδιαγραφές μηνυμάτων Latitude IDCO

ΚΕΦΑΛΑΙΟ 1

Αυτό το κεφάλαιο περιλαμβάνει τα παρακάτω θέματα:

- “Προδιαγραφές μηνυμάτων Latitude IDCO” στη σελίδα 1-2
- “Δομή τμήματος” στη σελίδα 1-2
- “Δομή τμήματος MSH” στη σελίδα 1-2
- “Δομή τμήματος PID” στη σελίδα 1-2
- “Δομή τμήματος PV1” στη σελίδα 1-3
- “Δομή τμήματος PV2” στη σελίδα 1-3
- “Δομή τμήματος OBR” στη σελίδα 1-3
- “Δομή τμήματος OBX” στη σελίδα 1-4
- “Παράμετροι εξόδου” στη σελίδα 1-4
- “Δομή τμήματος NTE” στη σελίδα 1-4
- “Αναφορές” στη σελίδα 1-5
- “Βασικοί Όροι” στη σελίδα 1-5

Προδιαγραφές μηνυμάτων Latitude IDCO

Το μήνυμα LATITUDE IDCO είναι ένα μήνυμα PCD-09 σύμφωνα με το IHE PCD Technical Framework Revision 3.0, October 11th, 2013, 11073. Σύμφωνα με το τεχνικό πλαίσιο, το μήνυμα είναι ένα τυπικό αυτόματο μήνυμα HL7 v2.6 εντολών και παρατηρήσεων που περιέχει παρατηρήσεις που έχουν καταγραφεί από την εμφυτευμένη συσκευή και έχουν κωδικοποιηθεί χρησιμοποιώντας την ονοματολογία ISO/IEEE 11073-10103:2014 IDC. Αυτό το διεθνές πρότυπο περιγράφει το καθολικό μοντέλο για τη διαλειτουργικότητα των ηλεκτρονικών ιατρικών δεδομένων.

Οι τιμές που βρίσκονται εντός εισαγωγικών στις στήλες τιμών στους παρακάτω πίνακες υποδεικνύουν τις κωδικοποιημένες τιμές που θα εμφανίζονται πάντα κατ' αυτόν τον τρόπο. Οι τιμές χωρίς εισαγωγικά υποδεικνύουν παράδειγμα ή περιγραφή της τιμής.

Δομή τμήματος

Όλα τα δεδομένα αποστέλλονται σύμφωνα με το PCD-09. Οι πληροφορίες που περιλαμβάνονται σε αυτήν την ενότητα προορίζονται για τον προσδιορισμό της εξόδου BSC για τα μηνύματα IDCO. Δεν είναι εξαντλητικές και δεν προορίζονται για τον περαιτέρω προσδιορισμό της ονοματολογίας IDCO.

Δομή τμήματος MSH

Το τμήμα MSH περιέχει πληροφορίες σχετικά με τον αποστολέα και τον παραλήπτη του μηνύματος, τον τύπο του μηνύματος, τη χρονική ένδειξη κ.λπ. Είναι το πρώτο τμήμα του μηνύματος IDCO.

ΟΝΟΜΑ ΣΤΟΙΧΕΙΟΥ	SEQ	SUB SEQ	ΤΙΜΗ
Εφαρμογή αποστολής	3		«LATITUDE»
Εγκατάσταση αποστολής	4		«BOSTON SCIENTIFIC»
Εγκατάσταση παραλαβής	6		Όνομα Κλινικής LATITUDE
Κωδικοποίηση χαρακτήρων	18		«UNICODE UTF-8»

Δομή τμήματος PID

Το τμήμα PID περιέχει στοιχεία εξακρίβωσης ταυτότητας των ασθενών όπως όνομα, αρ. ταυτότητας, ταχυδρομικός κώδικας, κ.λπ. Αυτά τα στοιχεία χρησιμοποιούνται για την ταυτοποίηση των ασθενών.

Το LATITUDE επιτρέπει στις κλινικές να προσθέτουν (προαιρετικά) τα δικά τους αναγνωριστικά ασθενών στο σύστημα LATITUDE. Το προαιρετικό αναγνωριστικό ασθενών συμπεριλαμβάνεται στο εξαχθέν μήνυμα IDCO. Εάν χρησιμοποιηθούν, αυτά τα καθοριζόμενα από την εκάστοτε κλινική αναγνωριστικά ασθενών εμφανίζονται στη λίστα αναγνωριστικών ασθενών (ακολουθία 3) ως κείμενο μετά από τον χαρακτήρα περισπωμένης (~).

Τυπικό αναγνωριστικό ασθενούς IDCO (πρώτο αναγνωριστικό στη λίστα)

ΟΝΟΜΑ ΣΤΟΙΧΕΙΟΥ	SEQ	SUB SEQ	ΤΙΜΗ
Αναγνωριστικό ασθενούς	3		
Αναθέτουσα Αρχή	3	4	«BSX»

Αναγνωριστικό ασθενούς Latitude (δεύτερο αναγνωριστικό στη λίστα)

ΟΝΟΜΑ ΣΤΟΙΧΕΙΟΥ	SEQ	SUB SEQ	ΤΙΜΗ
Λίστα Αναγνωριστικών Ασθενών	3		
Αριθμός Αναγνωριστικού	3	1	Αναγνωριστικό Ασθενών LATITUDE
Αναθέτουσα Αρχή	3	4	Όνομα Κλινικής LATITUDE
Κωδικός Τύπου Αναγνωριστικού	3	5	«U»

Παράδειγμα:

```
PID|1|model:N119/serial:123456^^^BSX^U~{LATITUDE Patient ID} ^^^  
{LATITUDE Clinic Name}^U||PatientLastName^PatientFirstName ^^^^^  
||19550116|U|...
```

Δομή τμήματος PV1

Το τμήμα PV1 (Επίσκεψη ασθενούς) περιέχει πληροφορίες σχετικά με τον θεράποντα ιατρό του ασθενούς.

ΟΝΟΜΑ ΣΤΟΙΧΕΙΟΥ	SEQ	SUB SEQ	ΤΙΜΗ
Κατηγορία ασθενούς	2		«R»

Δομή τμήματος PV2

Το τμήμα PV2 (Επίσκεψη ασθενούς 2) περιέχει πληροφορίες σχετικά με την ομάδα LATITUDE του ασθενούς.

ΟΝΟΜΑ ΣΤΟΙΧΕΙΟΥ	SEQ	SUB SEQ	ΤΙΜΗ
Όνομα μονάδας (ομάδα)	23	1	Όνομα ομάδας LATITUDE Παράδειγμα: Cardiology (Καρδιολογία)
Αριθμός αναγνώρισης (κύρια ή δευτερεύουσα ομάδα ασθενών)		3	1 Ανατρέξτε στη σημείωση α

a. Αυτή η τιμή θα είναι «1» εάν το αρχείο HL7 συσχετίζεται με την κύρια ομάδα LATITUDE ή θα είναι «2» εάν συσχετίζεται με τη δευτερεύουσα ομάδα LATITUDE.

Δομή τμήματος OBR

Τα τμήματα OBR είναι οι κεφαλίδες ενοτήτων για τα μεμονωμένα τμήματα ανάκτησης πληροφοριών OBX. Περιέχουν δεδομένα όπως χρονικές ενδείξεις, αναγνωριστικό αναφοράς και ένα μοναδικό αναγνωριστικό που δημιουργείται από το σύστημα.

ΟΝΟΜΑ ΣΤΟΙΧΕΙΟΥ	SEQ	SUB SEQ	ΤΙΜΗ ΠΑΡΑΔΕΙΓΜΑΤΟΣ
Καθολικό Αναγνωριστικό Υπηρεσίας	4		
Αναγνωριστικό		1	754053
Κείμενο		2	Ανατρέξτε στη σημείωση α

Ημερομηνία/ώρα παρατήρησης #	7		20060429080005+0000 Ανατρέξτε στη σημείωση β
Κατάσταση Αποτελέσματος	25		«F» Ανατρέξτε στη σημείωση γ

- Το κείμενο του καθολικού αναγνωριστικού υπηρεσίας θα έχει τη μορφή MDC_IDC_ENUM_SESS_TYPE_{τύπος συνεδρίας} (π.χ. MDC_IDC_ENUM_SESS_TYPE_RemoteScheduled).
- Η ημερομηνία/ώρα παρατήρησης θα είναι χρονική ένδειξη για τη στιγμή που πραγματοποιήθηκε η ανάκτηση δεδομένων από την εμφυτευμένη συσκευή. Η χρονική ένδειξη θα καταγράφεται στη ζώνη ώρας που έχει ρυθμιστεί για τον ασθενή.
- Η κατάσταση αποτελέσματος θα είναι «F» (τελικά αποτελέσματα).

Δομή τμήματος OBX

Τα τμήματα OBX περιέχουν δεδομένα που συγκεντρώνονται κατά τη διάρκεια της πιο πρόσφατης ανάκτησης δεδομένων από κάποια συσκευή.

ΟΝΟΜΑ ΣΤΟΙΧΕΙΟΥ	SEQ	SUB SEQ	ΤΙΜΗ
Κατάσταση αποτελέσματος παρατήρησης	11		«F» Ανατρέξτε στη σημείωση α
Ημερομηνία/ώρα παρατήρησης	14		20060317170000+0000 Ανατρέξτε στη σημείωση β

- Η κατάσταση αποτελέσματος θα είναι «F» (τελικά αποτελέσματα).
- Σε περίπτωση που η ημερομηνία μέτρησης διαφέρει από την ημερομηνία παρατήρησης στο OBR, θα συμπεριλαμβάνεται η ημερομηνία της μέτρησης.

Παράμετροι εξόδου

- Οι συμβολοσειρές θα αποστέλλονται στη γλώσσα που έχει διαμορφωθεί για την εκάστοτε κλινική στο LATITUDE.
- Οι αριθμητικές τιμές θα αποστέλλονται πάντα χρησιμοποιώντας την τελεία «.» ως υποστιγμή (δηλαδή ως υποδιαστολή δεκαδικού αριθμού).

Δομή τμήματος NTE

- Συσκευές S-ICD
 - Το πρώτο NTE θα περιέχει πληροφορίες ρυθμίσεων σε μορφή *label:value*, όπου κάθε ρύθμιση διαχωρίζεται με αλλαγή γραμμής (\.br\). Παράδειγμα:

NTE|1||Sensing Configuration: Primary\.br\Gain Setting: 2X\.br\
Post Shock Pacing: ON
 - Εάν υπάρχουν πληροφορίες για την κατάσταση της συσκευής, όλες αυτές οι πληροφορίες θα βρίσκονται στο δεύτερο NTE. Παράδειγμα:

NTE|2||Device requires immediate attention.\.br\|.br\Contact
Boston Scientific - BD.\.br\|.br\Americas: 1.800.CARDIAC (227.3422)
or +1.651.582.4000\.br\Europe, Middle East, Africa: +32 2 416 7222
\.br\Asia Pacific: +61 2 8063 8299
- Όλες οι άλλες συσκευές
 - Εάν εκδηλωθεί συναγερμός, θα υπάρχει ένα NTE για κάθε συναγερμό.

- Εάν υπάρχει προειδοποίηση, θα προηγείται ένα NTE προειδοποίησης πριν από ένα ή περισσότερα NTE συναγεμίου. Ένα NTE προειδοποίησης θα περιέχει μία ή περισσότερες ειδοποιήσεις σε ένα NTE.

Αναφορές

Αναφορά Αναπαράστασης ΗΓΜ

Εάν είναι διαθέσιμη στον όγκο δεδομένων που παραλαμβάνεται από την PG, η Αναφορά Αναπαράστασης ΗΓΜ επισυνάπτεται στο μήνυμα ως αρχείο PDF και συσχετίζεται με το αντίστοιχο επεισόδιο APMRT χρησιμοποιώντας το αναγνωριστικό ομάδας (OBX-4) για το επεισόδιο APMRT.

Αναφορά Συνδυασμένης Παρακολούθησης

Στο μήνυμα επισυνάπτεται μια Αναφορά Συνδυασμένης Παρακολούθησης ως αρχείο PDF σε ξεχωριστό OBX.

Αναφορά μητρώου αρρυθμιών

Στο μήνυμα επισυνάπτεται μια Αναφορά Μητρώου Αρρυθμιών ως αρχείο PDF σε ξεχωριστό OBX.

Αναφορά™ HF PERSPECTIV

Στο μήνυμα επισυνάπτεται μια Αναφορά HF PERSPECTIV™ ως αρχείο PDF σε ξεχωριστό OBX.

Τίτλοι Αναφοράς στο Μήνυμα

Κάθε τμήμα OBX θα περιλαμβάνει τον τίτλο αναφοράς στο OBX-3.5. Παράδειγμα:

OBX|51|ED|18750-0^Cardiac Electrophysiology Report^LN^^Combined Follow-up Report^Application^PDF^^Base64^{base 64 encoded PDF here}|...

Βασικοί Όροι

Ο ακόλουθος πίνακας περιέχει τους όρους ονοματολογίας που ενδέχεται να περιέχονται σε ένα μήνυμα IDCO της BSC.

Reference ID	Εμφανιζόμενο Όνομα
PREPEND MDC_IDC_DEV	Εμφυτεύσιμη Καρδιακή Συσκευή
_TYPE	Τύπος Εμφυτεύσιμης Καρδιακής Συσκευής
_MODEL	Μοντέλο Εμφυτεύσιμης Καρδιακής Συσκευής
_SERIAL	Σειριακός Αριθμός Εμφυτεύσιμης Καρδιακής Συσκευής
_MFG	Κατασκευαστής Εμφυτεύσιμης Καρδιακής Συσκευής
_IMPLANT_DT	Ημερομηνία Εμφύτευσης Εμφυτεύσιμης Καρδιακής Συσκευής
PREPEND MDC_IDC_LEAD	Χαρακτηριστικά Εμφυτεύσιμης Απαγωγής
_MODEL	Μοντέλο Εμφυτεύσιμης Απαγωγής
_SERIAL	Σειριακός Αριθμός Εμφυτεύσιμης Απαγωγής
_MFG	Κατασκευαστής Εμφυτεύσιμης Απαγωγής
_IMPLANT_DT	Ημερομηνία Εμφύτευσης Εμφυτεύσιμης Απαγωγής

_POLARITY_TYPE	Τύπος Πολικότητας Εμφυτεύσιμης Απαγωγής
_LOCATION	Θέση Εμφυτεύσιμης Απαγωγής
_LOCATION_DETAIL_1	Λεπτομέρεια 1 Θέσης Εμφυτεύσιμης Απαγωγής
PREPEND MDC_IDC_SESS	Συνεδρία Ανάκτησης Δεδομένων
_DTM	Ημερομηνία/Ωρα Συνεδρίας Ανάκτησης Δεδομένων
_TYPE	Τύπος Συνεδρίας Ανάκτησης Δεδομένων
_CLINIC_NAME	Όνομα κλινικής
PREPEND MDC_IDC_MSMT	Μετρήσεις
_BATTERY	Μετρήσεις Μπαταρίας
_DTM	Ημερομηνία/Ωρα Μετρήσεων Μπαταρίας
_STATUS	Κατάσταση Μπαταρίας
_REMAINING_LONGEVITY	Υπολειπόμενη Διάρκεια Ισχύος Μπαταρίας
_REMAINING_PERCENTAGE	Υπολειπόμενο Ποσοστό Ισχύος Μπαταρίας
_CAP	Μετρήσεις Πυκνωτή
_CHARGE_DTM	Ημερομηνία/Ωρα Τελευταίας Φόρτισης Πυκνωτή
_CHARGE_TIME	Ωρα Φόρτισης Πυκνωτή
_CHARGE_TYPE	Τύπος Φόρτισης Πυκνωτή
_CHARGE_ENERGY	Ενέργεια Φόρτισης
LEADCHNL[CHAMBER]	Μετρήσεις Καναλιού Απαγωγής
DTM[STRTEND]	Ημερομηνία και Ωρα Μετρήσεων Καναλιού Απαγωγής
_LEAD_CHANNEL_STATUS	Κατάσταση Καναλιού Απαγωγής
LEADCHNL[CHAMBER]_SENSING	Μετρήσεις Αίσθησης Καναλιού Απαγωγής
_INTR_AMPL_[MMM]	Ενδογενής Έντασης Αίσθησης Καναλιού Απαγωγής
_POLARITY	Πολικότητα Αίσθησης Καναλιού Απαγωγής
LEADCHNL[CHAMBER]_PACING_THRESHOLD	Μετρήσεις Ουδού Βηματοδότησης Καναλιού Απαγωγής
_AMPLITUDE	Ένταση Ουδού Βηματοδότησης Καναλιού Απαγωγής
_PULSEWIDTH	Διάρκεια Παλμού Ουδού Βηματοδότησης Καναλιού Απαγωγής
_MEASUREMENT_METHOD	Μέθοδος Μέτρησης Ουδού Βηματοδότησης Καναλιού Απαγωγής
_POLARITY	Πολικότητα Ουδού Βηματοδότησης Καναλιού Απαγωγής
LEADCHNL[CHAMBER]_IMPEDANCE	Μετρήσεις Σύνθετης Αντίστασης Καναλιού Απαγωγής
_VALUE	Τιμή Σύνθετης Αντίστασης Καναλιού Απαγωγής
_POLARITY	Πολικότητα Σύνθετης Αντίστασης Καναλιού Απαγωγής
_LEADHVCHNL	Μετρήσεις Καναλιού Υψηλής Τάσης Απαγωγής

DTM[STRTEND]	Ημερομηνία/Ωρα Καναλιού Υψηλής Τάσης Απαγωγής
_IMPEDANCE	Σύνθετη Αντίσταση Καναλιού Υψηλής Τάσης Απαγωγής
_MEASUREMENT_TYPE	Τύπος Μέτρησης Καναλιού Υψηλής Τάσης Απαγωγής
_STATUS	Κατάσταση Καναλιού Υψηλής Τάσης Απαγωγής
PREPEND MDC_IDC_SET	Ρυθμίσεις
_CRT	Ρυθμίσεις CRT
_LVRV_DELAY	Καθυστέρηση CRT LV-RV
_PACED_CHAMBERS	Βηματοδότηση κοιλιακών κοιλοτήτων κατά τη διάρκεια της βηματοδότησης CRT
LEADCHNL[CHAMBER]	Ρυθμίσεις Καναλιού Απαγωγής
LEADCHNL[CHAMBER]_SENSING	Ρυθμίσεις Αίσθησης Καναλιού Απαγωγής
_SENSITIVITY	Ρύθμιση Καναλιού Απαγωγής - Ευαισθησία Αίσθησης
_POLARITY	Ρύθμιση Καναλιού Απαγωγής - Πολικότητα Αίσθησης
_ANODE_LOCATION_[1..3]	Ρύθμιση Καναλιού Απαγωγής - Θέση Ανόδου Αίσθησης
_ANODE_ELECTRODE_[1..3]	Ρύθμιση Καναλιού Απαγωγής - Ακροδέκτης Ανόδου Αίσθησης
_CATHODE_LOCATION_[1..3]	Ρύθμιση Καναλιού Απαγωγής - Θέση Καθόδου Αίσθησης
_CATHODE_ELECTRODE_[1..3]	Ρύθμιση Καναλιού Απαγωγής - Ακροδέκτης Καθόδου Αίσθησης
_ADAPTATION_MODE	Ρύθμιση Καναλιού Απαγωγής - Λειτουργία Προσαρμογής Αίσθησης
LEADCHNL[CHAMBER]_PACING	Ρυθμίσεις Βηματοδότησης Καναλιού Απαγωγής
_AMPLITUDE	Ρύθμιση Καναλιού Απαγωγής - Ένταση Βηματοδότησης
_PULSEWIDTH	Ρύθμιση Καναλιού Απαγωγής - Διάρκεια Παλμού Βηματοδότησης
_POLARITY	Ρύθμιση Καναλιού Απαγωγής - Πολικότητα Βηματοδότησης
_ANODE_LOCATION_[1..3]	Ρύθμιση Καναλιού Απαγωγής - Θέση Ανόδου Βηματοδότησης
_ANODE_ELECTRODE_[1..3]	Ρύθμιση Καναλιού Απαγωγής - Ακροδέκτης Ανόδου Βηματοδότησης
_CATHODE_LOCATION_[1..3]	Ρύθμιση Καναλιού Απαγωγής - Θέση Καθόδου Βηματοδότησης
_CATHODE_ELECTRODE_[1..3]	Ρύθμιση Καναλιού Απαγωγής - Ακροδέκτης Καθόδου Βηματοδότησης
_CAPTURE_MODE	Ρύθμιση Καναλιού Απαγωγής - Τρόπος Λειτουργίας Σύλληψης Βηματοδότησης
_BRADY	Ρυθμίσεις Βραδυκαρδίας
_MODE	Τρόπος Λειτουργίας Ρυθμίσεων Βραδυκαρδίας (Κωδικός NBG)
_LOWRATE	Ρυθμίσεις Βραδυκαρδίας - Κατώτερο Όριο Συχνότητας
_SENSOR_TYPE	Ρυθμίσεις Βραδυκαρδίας - Τύπος Αισθητήρα

_MAX_TRACKING_RATE	Ρυθμίσεις Βραδυκαρδίας - Μέγιστη Συχνότητα Ρυμούλκησης
_MAX_SENSOR_RATE	Ρυθμίσεις Βραδυκαρδίας - Μέγιστη Συχνότητα Αισθητήρα
_SAV_DELAY_[HIGHLOW]	Ρυθμίσεις Βραδυκαρδίας - Κολποκοιλιακή Καθυστέρηση επί Αίσθησης
_PAV_DELAY_[HIGHLOW]	Ρυθμίσεις Βραδυκαρδίας - Κολποκοιλιακή Καθυστέρηση επί Βηματοδότησης
_AT_MODE_SWITCH_MODE	Λειτουργία Ρυθμίσεων Βραδυκαρδίας - Εναλλαγή Τρόπου Λειτουργίας Κολπικής Ταχυκαρδίας
_AT_MODE_SWITCH_RATE	Ρυθμίσεις Βραδυκαρδίας - Ρυθμός Εναλλαγής Τρόπου Λειτουργίας Κολπικής Ταχυκαρδίας
_TACHYTHERAPY	Ρυθμίσεις Θεραπείας Ταχυκαρδίας
_VSTAT	Ρύθμιση Θεραπείας Ταχυκαρδίας - Κοιλιακή κατάσταση
_ZONE	Ρυθμίσεις Ζώνης
_TYPE	Ρύθμιση Ζώνης - Κατηγορία Τύπου
_VENDOR_TYPE	Ρύθμιση Ζώνης - Κατηγορία Τύπου Παρόχου
_STATUS	Κατάσταση Ρύθμισης Ζώνης
_DETECTION_INTERVAL	Ρύθμιση Ζώνης - Διάστημα Ανίχνευσης
DETECTION_DETAILS	Λεπτομέρειες Ανίχνευσης
_TYPE_ATP_[1..10]	Ρύθμιση Ζώνης - Τύπος Αντιταχυκαρδιακής Βηματοδότησης
_NUM_ATP_SEQS_[1..10]	Ρύθμιση Ζώνης - Αριθμός Αλληλουχιών Αντιταχυκαρδιακής Βηματοδότησης
_SHOCK_ENERGY_[1..10]	Ρύθμιση Ζώνης - Ενέργεια Εκκένωσης
_NUM_SHOCKS_[1..10]	Ρύθμιση Ζώνης - Αριθμός Εκκενώσεων
PREPEND MDC_IDC_STAT	Στατιστικά Στοιχεία
DTM[STRTEEND]	Ημερομηνία/Ωρα Στατιστικών Στοιχείων
_BRADY	Στατιστικά Στοιχεία Βραδυκαρδίας
DTM[STRTEEND]	Ημερομηνία/Ωρα Στατιστικών Στοιχείων Βραδυκαρδίας
_RA_PERCENT_PACED	Στατιστικά Στοιχεία Βραδυκαρδίας - Ποσοστό RA επί Βηματοδότησης
_RV_PERCENT_PACED	Στατιστικά Στοιχεία Βραδυκαρδίας - Ποσοστό RV επί Βηματοδότησης
_AT	Στατιστικά Στοιχεία Κολπικής Ταχυκαρδίας
DTM[STRTEEND]	Ημερομηνία/Ωρα Στατιστικών Στοιχείων Κολπικής Ταχυκαρδίας
_BURDEN_PERCENT	Ποσοστό Φορτίου AT/AF Κολπικής Ταχυκαρδίας
_CRT	Στατιστικά Στοιχεία CRT
DTM[STRTEEND]	Ημερομηνία/Ωρα Στατιστικών Στοιχείων CRT
_LV_PERCENT_PACED	Στατιστικά Στοιχεία CRT - Ποσοστό LV επί Βηματοδότησης

_TACHYTHERAPY	Στατιστικά Στοιχεία Θεραπείας Ταχυκαρδίας
_SHOCKS_DELIVERED_RECENT	Πρόσφατες Εκκενώσεις που Εφαρμόστηκαν
_RECENT_DTM_[STRTEND]	Πρόσφατη Ημερομηνία/Ωρα
_SHOCKS_DELIVERED_TOTAL	Συνολικός Αριθμός Εκκενώσεων που Εφαρμόστηκαν
_TOTAL_DTM_[STRTEND]	Συνολικός Αριθμός - Ημερομηνία/Ωρα
_SHOCKS_ABORTED_RECENT	Πρόσφατες Εκκενώσεις που Ακυρώθηκαν
_SHOCKS_ABORTED_TOTAL	Συνολικός Αριθμός Εκκενώσεων που Ακυρώθηκαν
_ATP_DELIVERED_RECENT	Πρόσφατη Θεραπεία Αντιταχυκαρδιακής Βηματοδότησης που Εφαρμόστηκε
_ATP_DELIVERED_TOTAL	Συνολικός Αριθμός Θεραπειών Αντιταχυκαρδιακής Βηματοδότησης που Εφαρμόστηκαν
_EPISODE	Στατιστικά Στοιχεία Επεισοδίου
_TYPE	Στατιστικά Στοιχεία Επεισοδίου - Κατηγορία Τύπου
_TYPE_INDUCED	Στατιστικά Στοιχεία Επεισοδίου - Επαγόμενος Τύπος
_VENDOR_TYPE	Στατιστικά Στοιχεία Επεισοδίου - Κατηγορία Τύπου Παρόχου
_RECENT_COUNT	Στατιστικά Στοιχεία Επεισοδίου - Πρόσφατη Καταμέτρηση
_RECENT_COUNT_DTM_[STRTEND]	Στατιστικά Στοιχεία Επεισοδίου - Πρόσφατη Ημερομηνία/Ωρα
_TOTAL COUNT	Συνολική Καταμέτρηση
_TOTAL_COUNT_DTM_[STRTEND]	Συνολικός Αριθμός - Ημερομηνία/Ωρα
PREPEND MDC_IDC_EPISODE	Επεισόδιο
_ID	Αναγνωριστικό Επεισοδίου
_DTM	Ημερομηνία/Ωρα Επεισοδίου
_TYPE	Κατηγορία Τύπου Επεισοδίου
_TYPE_INDUCED	Τύπος Επεισοδίου - Σήμανση Επαγωγής
_VENDOR_TYPE	Κατηγορία Τύπου Παρόχου Επεισοδίου
_ATRIAL_INTERVAL_AT_DETECTION	Διάστημα Ανίχνευσης Επεισοδίου - Κολπικό
_VENTRICULAR_INTERVAL_AT_DETECTION	Διάστημα Ανίχνευσης Επεισοδίου - Κοιλιακό
_DETECTION_THERAPY_DETAILS	Λεπτομέρειες Ανίχνευσης και Θεραπείας Επεισοδίου
_DURATION	Διάρκεια Επεισοδίου

Outdated version. Do not use.
Version überholt. Nicht verwenden.
Version obsolète. Ne pas utiliser.
Versión obsoleta. No utilizar.
Versione obsoleta. Non utilizzare.
Verouderde versie. Niet gebruiken.
Föråldrad version. Använd ej.
Παλιά έκδοση. Μην την χρησιμοποιείτε.
Versão obsoleta. Não utilize.
Forældet version. Må ikke anvendes.
Zastaralá verze. Nepoužívat.
Utdatert versjon. Skal ikke brukes.
Zastaraná verzia. Nepoužívať.
Elavult verzió. Ne használja!
Wersja nieaktualna. Nie używać.

Μετατροπή Δεδομένων Εμφυτευμένης Συσκευής σε Μηνύματα IDCO

ΚΕΦΑΛΑΙΟ 2

Αυτό το κεφάλαιο περιλαμβάνει τα παρακάτω θέματα:

- “Κατάσταση Μπαταρίας” στη σελίδα 2-2
- “SET_BRADY_SENSOR_TYPE” στη σελίδα 2-2
- “Χαρτογράφηση Επεισοδίου” στη σελίδα 2-2
- “Χαρτογράφηση Μετρητών” στη σελίδα 2-4
- “Χαρτογράφηση Διαμορφώσεων Απαγωγής” στη σελίδα 2-5
- “Περιορισμοί του Συστήματος” στη σελίδα 2-5
- “Ορισμοί συναγερμών και προειδοποιήσεων” στη σελίδα 2-6
- “Αναφορές” στη σελίδα 2-6

Κατάσταση Μπαταρίας

Οι αντιστοιχίσεις παραμέτρων μπαταρίας στις καταστάσεις μπαταρίας BSC έχουν ως ακολούθως:

ΚΑΤΑΣΤΑΣΗ ΜΠΑΤΑΡΙΑΣ BSC (Συσκευές S-ICD)	ΚΑΤΑΣΤΑΣΗ ΜΠΑΤΑΡΙΑΣ BSC (Όλες οι άλλες συσκευές)	ΚΑΤΑΣΤΑΣΗ ΜΠΑΤΑΡΙΑΣ IDCO
Υπολείπεται >10% έως την τιμή ERI	BOL	BOS
Υπολείπεται <= 10% έως την τιμή ERI	OY	MOS
ERI	ERI	RRT
EOL	EOL	EOS

Όταν μια εμφυτευμένη συσκευή μεταβεί σε περιορισμένη τηλεμετρία, η κατάσταση της μπαταρίας της μπορεί να είναι ERI ή EOL. Αμφότερες οι καταστάσεις μπαταρίας οδηγούν στην εμφάνιση του ίδιου μηνύματος: ENUM_BATTERY_STATUS_RRT (ERI) σε MSMT_BATTERY_STATUS με ένδειξη χρόνου ERI στο MSMT_BATTERY_DTM. Αυτή η κατάσταση ισχύει μόνο σε περιπτώσεις περιορισμένης τηλεμετρίας και δεν ισχύει στις συσκευές S-ICD.

SET_BRADY_SENSOR_TYPE

Ο τύπος αισθητήρα θα αποστέλλεται όπως εμφανίζεται στον παρακάτω πίνακα.

ΑΠΟΣΤΕΛΛΟΜΕΝΗ ΤΙΜΗ ΓΙΑ ΤΗ ΜΕΤΑΒΛΗΤΗ SET_BRADY_SENSOR_TYPE ΒΑΣΕΙ ΤΗΣ ΡΥΘΜΙΣΗΣ ΤΗΣ ΕΜΦΥΤΕΥΜΕΝΗΣ ΣΥΣΚΕΥΗΣ	ΡΥΘΜΙΣΗ ΕΜΦΥΤΕΥΜΕΝΗΣ ΣΥΣΚΕΥΗΣ
"Accelerometer" (Επιταχυνσιόμετρο)	Μόνο επιταχυνσιόμετρο
«Minute Ventilation»	Μόνο Αερισμός ανά λεπτό
"Accelerometer + MV" (Επιταχυνσιόμετρο + MV)	Επιταχυνσιόμετρο και Αερισμός ανά λεπτό

Οι παραπάνω τιμές θα αποστέλλονται μόνο εάν η συχνότητα μπορεί να καθοδηγηθεί από τον αισθητήρα, δηλαδή δεν αποστέλλονται εάν ο αισθητήρας είναι σε κατάσταση μόνο παρακολούθησης.

Οι παραπάνω τιμές θα αποστέλλονται εάν η συχνότητα μπορεί να καθοδηγηθεί σε τρόπο φυσιολογικής βραδυκαρδίας ή σε απόκριση σε κολπική ταχυκαρδία, δηλαδή η τιμή δεν αντικατοπτρίζει τον τρόπο φυσιολογικής βραδυκαρδίας.

Λάβετε υπόψη ότι το μήνυμα «ATR Only» (Μόνο απόκριση σε κολπική ταχυκαρδία) μπορεί να εμφανιστεί σε αναφορές όταν η λειτουργία απόκρισης σε κολπική ταχυκαρδία βρίσκεται σε συχνοπροσαρμοζόμενο τρόπο λειτουργίας και ο τρόπος φυσιολογικής βραδυκαρδίας δεν είναι συχνοπροσαρμοζόμενος. Σε αυτήν την περίπτωση, το κείμενο (π.χ. «Accelerometer» (Επιταχυνσιόμετρο)) θα εξακολουθεί να αποστέλλεται για τον τρόπο λειτουργίας απόκρισης σε κολπική ταχυκαρδία. Ο χρήστης μπορεί να ελέγξει τον τρόπο βραδυκαρδίας και τον τρόπο λειτουργίας απόκρισης σε κολπική ταχυκαρδία και να προσδιορίσει ότι η απόκριση της συχνότητας αφορά μόνο την απόκριση σε κολπική ταχυκαρδία.

Χαρτογράφηση Επεισοδίου

Τα επεισόδια, οι μετρητές κ.λπ. θα αποστέλλονται σε συναφείς πληροφορίες που περιέχονται στην ανάκτηση δεδομένων. Οι ίδιες πληροφορίες θα στέλλονται ως αρχικό πακέτο και ως επακόλουθη εκ νέου αποστολή, ακόμα και αν στο μεσοδιάστημα πραγματοποιούνται ανακτήσεις δεδομένων. Λάβετε υπόψη ότι η έξοδος EMR δεν θα συμφωνεί πάντα με την αναφορά Quick

Notes, επειδή το Quick Notes εμφανίζει επεισόδια, συναγερμούς και μετρητές από τον τελευταίο μηδενισμό. Τα επεισόδια αναπαριστώνται από έναν συνδυασμό κανονιστικών τύπων και τύπων για συγκεκριμένους παρόχους. Η αναπαράσταση ορισμένων τύπων επεισοδίων της Boston Scientific δεν μπορεί να γίνει με μοναδικό τρόπο με την τρέχουσα ονοματολογία IDCO.

ΑΝΑΓΝΩΡΙΣΤΙΚΟ ΕΠΕΙΣΟΔΙΟΥ BSC	ΤΥΠΟΣ ΕΠΕΙΣΟΔΙΟΥ BSC	ΚΑΝΟΝΙΣΤΙΚΟΣ ΤΥΠΟΣ ΕΠΕΙΣΟΔΙΟΥ IDCO	ΤΥΠΟΣ ΕΠΕΙΣΟΔΙΟΥ IDCO ΣΥΓΚΕΚΡΙΜΕΝΟΥ ΠΑΡΟΧΟΥ
V-x	VF	Κοιλιακή μαρμαρυγή (VF)	BSX-Zone_VF
V-x	VT	Κοιλιακή ταχυκαρδία (VT)	BSX-Epis_VT
V-x	VT (V>A)	Κοιλιακή ταχυκαρδία (VT)	BSX-Epis_VT
V-x	Tachy	Για συσκευές SSI, εάν η απαγωγή είναι στα: <ul style="list-style-type: none"> • V – VT • A – AT/AF • Μη καθορισμένο – VT 	Ηρεμία
V-x	NonSust	Για συσκευές SSI, εάν η απαγωγή είναι στα: <ul style="list-style-type: none"> • V – VT • A – AT/AF • Μη καθορισμένο – VT 	Εάν A, ηρεμία άλλο BSX-Epis_NSVT
V-x	SVT (V≤A)	Υπερκοιλιακή ταχυκαρδία (SVT)	BSX-Zone_SVT
V-x	VT-1	Κοιλιακή ταχυκαρδία (VT)	BSX-Epis_VT-1
RMS-x	RMS	Άλλος	BSX-Epis_RMS
ΡΥΘΜΙΟ™-x	ΡΥΘΜΙΟ™	Άλλος	BSX-Epis_RMS
ATR-x	ATR	ΑΤΑΦ	BSX-Epis_ATR
PMT-x	PMT	Άλλος	BSX-Epis_PMT
SBR-x	SBR	Άλλος	Καμία
PTM-x	PTM	Ενεργοποίηση από τον Ασθενή	BSX-Epis_PTM
V-x	Cmd V	Άλλος	Καμία
V-x	NonSustV	Κοιλιακή ταχυκαρδία (VT)	BSX-Epis_NSVT
APMRT-x	APM RT	Περιοδικό ΗΓΜ	BSX-Epis_APMRT
RVAT-x	RV Auto	Άλλος	Καμία
RAAT-x	RA Auto	Άλλος	Καμία
LVAT-x	LV Auto	Άλλος	Καμία
MRI-x	MRI	Άλλος	Καμία
<αριθμός επεισοδίου>	Treated	Κοιλιακή μαρμαρυγή (VF)	BSX-Zone_VF
<αριθμός επεισοδίου>	Untreated	Άλλος	Ανατρέξτε στη σημείωση α

a. Το OBX για τον τύπο επεισοδίου για συγκεκριμένους παρόχους θα είναι στο μήνυμα με κενή τιμή παρατήρησης.

Χαρτογράφηση Μετρητών

Η άθροιση ορισμένων μετρητών πραγματοποιείται πριν από την αποστολή του μηνύματος. Αυτό συμβαίνει επειδή προς το παρόν δεν είναι δυνατή η αναπαράσταση όλων των μετρητών της Boston Scientific στην ονοματολογία IDCO: Οι τιμές μετρητών που αποστέλλονται θα είναι από τον τελευταίο μηδενισμό και εφεξής.

ΜΕΤΡΗΤΗΣ ΕΠΕΙΣΟΔΙΩΝ BSC	ΣΤΑΤΙΣΤΙΚΑ ΣΤΟΙΧΕΙΑ IDCO - ΚΑΝΟΝΙΣΤΙΚΟΣ ΤΥΠΟΣ ΕΠΕΙΣΟΔΙΟΥ	ΣΤΑΤΙΣΤΙΚΑ ΣΤΟΙΧΕΙΑ IDCO - ΤΥΠΟΣ ΕΠΕΙΣΟΔΙΟΥ ΣΥΓΓΕΚΡΙΜΕΝΟΥ ΠΑΡΟΧΟΥ
Treated	Κοιλιακή μαρμαρυγή (VF)	BSX-Epis_VF
Untreated	Άλλος	Ανατρέξτε στη σημείωση α
VT (V>A)	VT	BSX-Epis_VT
Tachy	VT	BSX-Epis_VT
NonSust	VT	BSX-Epis_NSVT
NonSustV	VT	BSX-Epis_NSVT
SVT (V ≤ A)	SVT	BSX-Epis_SVT
ATR	ΑΤ/ΑΦ	BSX-Epis_ATR
MRI	Άλλος	Ανατρέξτε στη σημείωση α
VF	VF	BSX-Epis_VF
VT	VT	BSX-Epis_VT
VT-1	VT	BSX-Epis_VT-1
Cmd	Άλλος	Ανατρέξτε στη σημείωση α
No Therapy Programmed	Παρακολούθηση	Ανατρέξτε στη σημείωση α
Other Untreated	Άλλος	Ανατρέξτε στη σημείωση α
RMS	Άλλος	BSX-Epis_RMS
RHYTHMIQ™	Άλλος	BSX-Epis_RMS
PMT	Άλλος	BSX-Epis_PMT
SBR	Άλλος	Ανατρέξτε στη σημείωση α
PTM	Ενεργοποίηση από τον Ασθενή	BSX-Epis_PTMT
APM RT	Περιοδικό ΗΓΜ	BSX-Epis_APMRT
RA Auto	Άλλος	Ανατρέξτε στη σημείωση α
RV Auto	Άλλος	Ανατρέξτε στη σημείωση α
LV Auto	Άλλος	Ανατρέξτε στη σημείωση α

a. Το OBX για την κατάσταση καταμέτρησης για συγκεκριμένους παρόχους θα είναι στο μήνυμα με κενή τιμή παρατήρησης.

Χαρτογράφηση Διαμορφώσεων Απαγωγής

Ο παρακάτω πίνακας δείχνει πώς τα IDCO and BSC ορίζουν τις απαγωγές πολλαπλών ηλεκτροδίων. Τα περιεχόμενα αυτού του πίνακα δεν είναι εξαντλητικά, απλώς περιλαμβάνει μόνο απαριθμήσεις στοιχείων που ενδέχεται να μην είναι προφανή.

Οι ορισμοί που χρησιμοποιεί η BSC είναι σχεδιασμένοι για να συνάδουν με τον Προγραμματιστή/ Καταγραφέα/Ελεγκτή (ΠΚΕ) και τον ιστότοπο LATITUDE.

ΟΝΟΜΑ ΗΛΕΚΤΡΟΔΙΟΥ BSC	ΘΕΣΗ ΗΛΕΚΤΡΟΔΙΟΥ IDCO	ΟΝΟΜΑ ΗΛΕΚΤΡΟΔΙΟΥ IDCO
Περίβλημα	Άλλη	Can (Περίβλημα)
LVTip1 (Άκρο αριστερής κοιλίας1)	Αριστερή κοιλία (LV)	Tip (Άκρο)
LVRing2 (Δακτύλιος αριστερής κοιλίας2)	Αριστερή κοιλία (LV)	Ring1 (Δακτύλιος1)
LVRing3 (Δακτύλιος αριστερής κοιλίας3)	Αριστερή κοιλία (LV)	Ring2 (Δακτύλιος2)
LVRing4 (Δακτύλιος αριστερής κοιλίας4)	Αριστερή κοιλία (LV)	Ring3 (Δακτύλιος3)

Επί του παρόντος, το MDC_IDC_ENUM_ELECTRODE_LOCATION (θέση ανόδου/καθόδου βηματοδότησης/αίσθησης) δεν περιλαμβάνει απαρίθμηση για το θύλακα (π.χ. περίβλημα). Η θέση θα αποστέλλεται ως «άλλη» και το ηλεκτρόδιο ως «περίβλημα».

Η κατάσταση «έλεγχος απαγωγής» υποδεικνύει κάποιο πιθανό πρόβλημα με την απαγωγή. Ωστόσο, η απουσία της κατάστασης «έλεγχος απαγωγής» δεν υποδεικνύει ότι η απαγωγή λειτουργεί κανονικά. Θα αποστέλλεται η κατάσταση «έλεγχος απαγωγής» εάν υπάρχει κάποια από τις ακόλουθες ενδείξεις κατάστασης:

- Συσσκευές S-ICD
 - High electrode impedance (Υψηλή σύνθετη αντίσταση ηλεκτροδίων)
- Όλες οι άλλες συσκευές
 - Lead safety switch (Αλλαγή ασφαλείας απαγωγών)
 - Impedance out of range (Σύνθετη αντίσταση εκτός εύρους)
 - Amplitude out of range (Ένταση εκτός εύρους)
 - Low shock impedance (Χαμηλή σύνθετη αντίσταση εκκένωσης)
 - High shock impedance (Υψηλή σύνθετη αντίσταση εκκένωσης)
 - High voltage during charge (Υψηλή τάση κατά τη φόρτιση)

Για το MSMT_LEADCHNL_[CHAMBER] (δηλαδή μετρήσεις καναλιού όπως ενδογενής ένταση, σύνθετη αντίσταση απαγωγής, ουδός βηματοδότησης), μόνο ένα εύρος χρονικών ενδείξεων είναι δυνατό για όλες τις μετρήσεις (δηλαδή όχι ένα εύρος ανά μέτρηση) στην τρέχουσα ονοματολογία IDCO. Εάν οι ώρες μέτρησης διαφέρουν, θα αποστέλλεται ένα εύρος χρονικών ενδείξεων (δηλαδή MIN, MAX) που θα συμπεριλαμβάνει την ώρα όλων των μετρήσεων. Επιπλέον, οι τιμές που θα αποστέλλονται θα είναι τιμή IDCO MEAN σύμφωνα με την ονοματολογία IDCO. Ωστόσο, οι τιμές αποτελούν μεμονωμένες μετρήσεις και δεν είναι μέσες τιμές εντός του εύρους χρονικών ενδείξεων.

Περιορισμοί του Συστήματος

- Οι έξοδοι που αφορούν συγκεκριμένα την ταχυκαρδία και τις κοιλότητες είναι όσο το δυνατόν πιο ακριβείς. Ωστόσο, σε ορισμένες περιπτώσεις, η βαρύτητα της αποστολής των δεδομένων και το γεγονός ότι το IDCO δεν μπορεί να αναπαραστήσει ορισμένες παραμέτρους εγγυάται

την αποστολή των δεδομένων ανεξαρτήτως συνθηκών. Για παράδειγμα, οι πληροφορίες της ζώνης VT αποστέλλονται όπως εάν οι συσκευές βραδυκαρδίας είχαν ζώνη VT.

- Για συσκευές που δεν διαθέτουν αυτόματο ουδό βηματοδότησης (λειτουργία αυτόματου ουδού), θα αποστέλλεται η τελευταία μέτρηση ουδού στο ιατρείο.
- Η σωστή αναφορά των δεδομένων της εμφυτευμένης συσκευής και των ειδοποιήσεων συναγερμού από το σύστημα LATITUDE NXT εξαρτάται από τον ακριβή προγραμματισμό του ρολογιού της εμφυτευμένης συσκευής με έναν Προγραμματιστή/Καταγραφέα/Ελεγκτή (ΠΚΕ). Η σωστή αναφορά ενδέχεται να συνεχίσει να επηρεάζεται για κάποιο χρονικό διάστημα μετά τον σωστό προγραμματισμό του ρολογιού της εμφυτευμένης συσκευής, ανάλογα με την ποσότητα των δεδομένων που λαμβάνονται με μη ακριβείς πληροφορίες χρόνου και τη χρονική διαφορά του σφάλματος στο ρολόι της εμφυτευμένης συσκευής.
- Οι συμβολοσειρές θα αποστέλλονται στη γλώσσα που έχει διαμορφωθεί για την εκάστοτε κλινική στο LATITUDE.

Ορισμοί συναγερμών και προειδοποιήσεων

Τα μηνύματα προειδοποίησης και συναγερμού περιλαμβάνονται στο μήνυμα ως σημειώσεις που ενδέχεται να εμφανίζονται ή να μην εμφανίζονται σε ένα EMR. Στο μήνυμα συμπεριλαμβάνεται μια προειδοποίηση ή ένας συναγερμός εάν τα δεδομένα που μεταφορτώθηκαν από την PG οδήγησαν στην εκδήλωση της προειδοποίησης ή του συναγερμού.

Αναφορές

Αναφορά Αναπαράστασης ΗΓΜ

Εάν είναι διαθέσιμη στον όγκο δεδομένων που παραλαμβάνεται από την PG, η Αναφορά Αναπαράστασης ΗΓΜ επισυνάπτεται στο μήνυμα ως αρχείο PDF και συσχετίζεται με το αντίστοιχο επεισόδιο APMRT χρησιμοποιώντας το αναγνωριστικό ομάδας (OBX-4) για το επεισόδιο APMRT.

Αναφορά Συνδυασμένης Παρακολούθησης

Στο μήνυμα επισυνάπτεται μια Αναφορά Συνδυασμένης Παρακολούθησης ως αρχείο PDF.

Αναφορά μητρώου αρρυθμιών

Στο μήνυμα επισυνάπτεται μια Αναφορά Μητρώου Αρρυθμιών ως αρχείο PDF σε ξεχωριστό OBX.

Αναφορά™ HF PERSPECTIV

Στο μήνυμα επισυνάπτεται μια Αναφορά HF PERSPECTIV™ ως αρχείο PDF σε ξεχωριστό OBX.

Παράδειγμα Αρχείων IDCO

ΚΕΦΑΛΑΙΟ 3

Αυτό το κεφάλαιο περιλαμβάνει τα παρακάτω θέματα:

- “Παράδειγμα Αρχείων IDCO” στη σελίδα 3-2
- “Παράδειγμα Μηνύματος 1 – Συσκευή S-ICD” στη σελίδα 3-2
- “Παράδειγμα Μηνύματος 2 – Άλλες Συσκευές (Όχι S-ICD)” στη σελίδα 3-4

Outdated version. Do not use.
Version überholt. Nicht verwenden.
Version obsolète. Ne pas utiliser.
Versión obsoleta. No utilizar.
Versione obsoleta. Non utilizzate.
Verouderde versie. Niet gebruiken.
Föråldrad version. Använd ej.
Παλιά έκδοση. Μην την χρησιμοποιείτε.
Versão obsoleta. Não utilize.
Forældet version. Må ikke anvendes.
Zastaralá verzia. Nepoužívajte.
Utdatert versjon. Skal ikke brukes.
Zastaraná verzia. Nepoužívajte.
Elavult verzió. Ne használja!
Wersja nieaktualna. Nie używać.

Παράδειγμα Αρχείων IDCO

Το παρακάτω παράδειγμα αρχείων IDCO δείχνει πώς ενδέχεται να είναι η εμφάνιση των μηνυμάτων LATITUDE IDCO. Αυτά αποτελούν μόνο δύο παραδείγματα εκ των πολλών πιθανών εμφανίσεων. Τα δεδομένα στα ενδεικτικά μηνύματα είναι υποθετικά και δεν αναπαριστώνται όλοι οι όροι LATITUDE IDCO.

Παραδειγμα Μηνύματος 1 – Συσκευη S-ICD

```
MSH|^~\&|LATITUDE|BOSTON SCIENTIFIC||Test Clinic|201502091852+0000||  
ORU^R01^ORU_R01|1000000134|P|2.6|||||UNICODE UTF-8|en^English||IHE_  
PCD_009^IHE_PCD^1.3.6.1.4.1.19376.1.6.1.9.1^ISO  
PID|1||model:A209/serial:100564^^^BSX^U~PID_001^^^Test Clinic^U||  
Smith^Joe||20150101|U  
PV1||R  
PV2|||||||||||||||||Test Clinic_group^1  
OBR|1||1000000013|754052^MDC_IDC_ENUM_SESS_TYPE_RemoteDeviceInitiated  
^MDC||201501261012-0600|||||F  
NTE|1||Sensing Configuration: Alternate.br\Gain Setting: 1X.br\  
Post Shock Pacing: ON  
NTE|2||Jan 26, 2015 10:07 CST - Yellow Alert - Untreated episode.  
NTE|3||Jan 26, 2015 10:04 CST - Yellow Alert - Shock therapy  
delivered to convert arrhythmia (treated episode).  
OBX|1|CWE|720897^MDC_IDC_DEV_TYPE^MDC||753666^MDC_IDC_ENUM_DEV_  
TYPE_ICD^MDC||||F  
OBX|2|ST|720898^MDC_IDC_DEV_MODEL^MDC||A209||||F  
OBX|3|ST|720899^MDC_IDC_DEV_SERIAL^MDC||100564||||F  
OBX|4|CWE|720900^MDC_IDC_DEV_MFG^MDC||753732^MDC_IDC_ENUM_MFG_  
BSX^MDC||||F  
OBX|5|DTM|720901^MDC_IDC_DEV_IMPLANT_DT^MDC||20150126||||F  
OBX|6|DTM|721025^MDC_IDC_SESS_DTM^MDC||201501261012-0600||||F  
OBX|7|CWE|721026^MDC_IDC_SESS_TYPE^MDC||  
754052^MDC_IDC_ENUM_SESS_TYPE_RemoteDeviceInitiated^MDC||||F  
OBX|8|ST|721033^MDC_IDC_SESS_CLINIC_NAME^MDC||Test Clinic||||F  
OBX|9|DTM|721216^MDC_IDC_MSMT_BATTERY_DTM^MDC||201501261012-0600  
||||F  
OBX|10|CWE|721280^MDC_IDC_MSMT_BATTERY_STATUS^MDC||754113^MDC_IDC_  
ENUM_BATTERY_STATUS_BOS^MDC||||F  
OBX|11|NM|721536^MDC_IDC_MSMT_BATTERY_REMAINING_PERCENTAGE^MDC||98  
||||F  
OBX|12|ST|739536^MDC_IDC_EPISODE_ID^MDC||1002||||F  
OBX|13|DTM|739552^MDC_IDC_EPISODE_DTM^MDC||201501261007-0600||||F  
OBX|14|CWE|739568^MDC_IDC_EPISODE_TYPE^MDC||1|754888^MDC_IDC_ENUM_  
EPISODE_TYPE_Epis_Other^MDC||||F  
OBX|15|CWE|739600^MDC_IDC_EPISODE_VENDOR_TYPE^MDC||1||||F  
OBX|16|CWE|739584^MDC_IDC_EPISODE_TYPE_INDUCED^MDC||1|755330^MDC_IDC_  
ENUM_EPISODE_TYPE_INDUCED_NO^MDC||||F  
OBX|17|NM|739712^MDC_IDC_EPISODE_DURATION^MDC||1|39|s||||F  
OBX|18|ST|739680^MDC_IDC_EPISODE_DETECTION_THERAPY_DETAILS^MDC||1|  
Untreated Episode||||F  
OBX|19|ST|739536^MDC_IDC_EPISODE_ID^MDC||2|001||||F  
OBX|20|DTM|739552^MDC_IDC_EPISODE_DTM^MDC||2|201501261004-0600||||F  
OBX|21|CWE|739568^MDC_IDC_EPISODE_TYPE^MDC||2|754881^MDC_IDC_ENUM_  
EPISODE_TYPE_Epis_VF^MDC||||F  
OBX|22|CWE|739600^MDC_IDC_EPISODE_VENDOR_TYPE^MDC||2|771073^MDC_IDC_  
ENUM_EPISODE_VENDOR_TYPE_BSX-Epis_VF^MDC||||F  
OBX|23|CWE|739584^MDC_IDC_EPISODE_TYPE_INDUCED^MDC||2|755330^MDC_IDC_  
ENUM_EPISODE_TYPE_INDUCED_NO^MDC||||F  
OBX|24|NM|739712^MDC_IDC_EPISODE_DURATION^MDC||2|43|s||||F
```

OBX|25|ST|739680^MDC_IDC_EPISODE_DETECTION_THERAPY_DETAILS^MDC|2|
Treated Episode: Shock Impedance=77 Ohms, Final Shock Polarity=REV|||||F
OBX|26|CWE|731520^MDC_IDC_SET_TACHYTHERAPY_VSTAT^MDC||754817^MDC_IDC_ENUM_
THERAPY_STATUS_On^MDC|||||F
OBX|27|CWE|731648^MDC_IDC_SET_ZONE_TYPE^MDC|1|754945^MDC_IDC_ENUM_ZONE_TYPE_
Zone_VF^MDC|||||F
OBX|28|CWE|731712^MDC_IDC_SET_ZONE_VENDOR_TYPE^MDC|1|771139^MDC_IDC_ENUM_
ZONE_VENDOR_TYPE_BSX-Zone_VF^MDC|||||F
OBX|29|CWE|731776^MDC_IDC_SET_ZONE_STATUS^MDC|1|755009^MDC_IDC_ENUM_ZONE_
STATUS_Active^MDC|||||F
OBX|30|NM|731840^MDC_IDC_SET_ZONE_DETECTION_INTERVAL^MDC|1|273|ms|||||F
OBX|31|NM|732225^MDC_IDC_SET_ZONE_SHOCK_ENERGY_1^MDC|1|80|J|||||F
OBX|32|CWE|731648^MDC_IDC_SET_ZONE_TYPE^MDC|1|754946^MDC_IDC_ENUM_ZONE_TYPE_
Zone_VT^MDC|||||F
OBX|33|CWE|731712^MDC_IDC_SET_ZONE_VENDOR_TYPE^MDC|2|771137^MDC_IDC_ENUM_
ZONE_VENDOR_TYPE_BSX-Zone_VT^MDC|||||F
OBX|34|CWE|731776^MDC_IDC_SET_ZONE_STATUS^MDC|2|755009^MDC_IDC_ENUM_ZONE_
STATUS_Active^MDC|||||F
OBX|35|NM|731840^MDC_IDC_SET_ZONE_DETECTION_INTERVAL^MDC|2|300|ms|||||F
OBX|36|ST|732032^MDC_IDC_SET_ZONE_DETECTION_DETAILS^MDC|2|SMART Charge:
204.69 s (133 intervals)|||F
OBX|37|NM|732225^MDC_IDC_SET_ZONE_SHOCK_ENERGY_1^MDC|2|80|J|||||F
OBX|38|CWE|737952^MDC_IDC_STAT_EPISODE_TYPE^MDC|1|754888^MDC_IDC_ENUM_EPISODE
_TYPE_Epis_Other^MDC|||||F
OBX|39|CWE|737984^MDC_IDC_STAT_EPISODE_VENDOR_TYPE^MDC|1|||||F
OBX|40|NM|738000^MDC_IDC_STAT_EPISODE_RECENT_COUNT^MDC|1|1|||||F
OBX|41|DTM|738017^MDC_IDC_STAT_EPISODE_RECENT_COUNT_DTM_START^MDC|1|20150126
|||F
OBX|42|DTM|738018^MDC_IDC_STAT_EPISODE_RECENT_COUNT_DTM_END^MDC|1|
20150126|||F
OBX|43|NM|738032^MDC_IDC_STAT_EPISODE_TOTAL_COUNT^MDC|1|1|||F
OBX|44|DTM|738049^MDC_IDC_STAT_EPISODE_TOTAL_COUNT_DTM_START^MDC|1|20150126
|||F
OBX|45|DTM|738050^MDC_IDC_STAT_EPISODE_TOTAL_COUNT_DTM_END^MDC|1|20150126
|||F
OBX|46|CWE|737952^MDC_IDC_STAT_EPISODE_TYPE^MDC|2|754881^MDC_IDC_ENUM_EPISODE
_TYPE_Epis_VF^MDC|||||F
OBX|47|CWE|737984^MDC_IDC_STAT_EPISODE_VENDOR_TYPE^MDC|2|771073^MDC_IDC_
ENUM_EPISODE_VENDOR_TYPE_BSX-Epis_VF^MDC|||||F
OBX|48|NM|738000^MDC_IDC_STAT_EPISODE_RECENT_COUNT^MDC|2|1|||||F
OBX|49|DTM|738017^MDC_IDC_STAT_EPISODE_RECENT_COUNT_DTM_START^MDC|2|20150126
|||||F
OBX|50|DTM|738018^MDC_IDC_STAT_EPISODE_RECENT_COUNT_DTM_END^MDC|2|20150126
|||||F
OBX|51|NM|738032^MDC_IDC_STAT_EPISODE_TOTAL_COUNT^MDC|2|1|||||F
OBX|52|DTM|738049^MDC_IDC_STAT_EPISODE_TOTAL_COUNT_DTM_START^MDC|2|20150126
|||||F
OBX|53|DTM|738050^MDC_IDC_STAT_EPISODE_TOTAL_COUNT_DTM_END^MDC|2|20150126
|||||F
OBX|54|DTM|737937^MDC_IDC_STAT_TACHYTHERAPY_RECENT_DTM_START^MDC||20150126
|||||F
OBX|55|DTM|737938^MDC_IDC_STAT_TACHYTHERAPY_RECENT_DTM_END^MDC||20150126
|||||F
OBX|56|NM|737824^MDC_IDC_STAT_TACHYTHERAPY_SHOCKS_DELIVERED_RECENT^MDC
|1|1|||||F
OBX|57|DTM|737921^MDC_IDC_STAT_TACHYTHERAPY_TOTAL_DTM_START^MDC||20150126
|||||F
OBX|58|DTM|737922^MDC_IDC_STAT_TACHYTHERAPY_TOTAL_DTM_END^MDC||20150126
|||||F

NTE|16||Feb 02, 2012 00:00 - Yellow Alert - Right ventricular automatic threshold detected as > programmed amplitude or suspended.

NTE|17||Feb 02, 2012 00:00 - Yellow Alert - Atrial automatic threshold detected as > programmed amplitude or suspended.

NTE|18||Feb 02, 2012 00:00 - Red Alert - Shock lead impedance out of range.

NTE|19||Feb 02, 2012 00:00 - Red Alert - Low shock lead impedance detected when attempting to deliver a shock.

NTE|20||Feb 02, 2012 00:00 - Red Alert - High shock lead impedance detected when attempting to deliver a shock.

NTE|21||Feb 02, 2012 00:00 - Red Alert - High voltage detected on shock lead during charge.

NTE|22||Feb 02, 2012 00:00 - Red Alert - Electrocautery Protection is active.

NTE|23||Feb 02, 2012 00:00 - Yellow Alert - VT Episode occurred (V>A).

NTE|24||Feb 02, 2012 00:00 - Yellow Alert - Device Brady Mode is Off. Brady therapy will not be delivered.

NTE|25||Feb 02, 2012 00:00 - Yellow Alert - Left ventricular pacing lead impedance out of range.

NTE|26||Feb 02, 2012 00:00 - Yellow Alert - Atrial pacing lead impedance out of range.

NTE|27||Feb 02, 2012 00:00 - Yellow Alert - Right ventricular intrinsic amplitude out of range.

NTE|28||Feb 02, 2012 00:00 - Yellow Alert - Intrinsic amplitude out of range.

NTE|29||Feb 02, 2012 00:00 - Yellow Alert - Left ventricular intrinsic amplitude out of range.

NTE|30||Feb 02, 2012 00:00 - Yellow Alert - Atrial intrinsic amplitude out of range.

NTE|31||Feb 02, 2012 00:00 - Red Alert - Right ventricular pacing lead impedance out of range.

NTE|32||Feb 02, 2012 00:00 - Red Alert - Pacing lead impedance out of range.

NTE|33||Feb 02, 2012 00:00 - Yellow Alert - Ventricular shock therapy delivered to convert arrhythmia.

NTE|34||Feb 02, 2012 00:00 - Yellow Alert - Accelerated ventricular arrhythmia episode.

NTE|35||Feb 02, 2012 00:00 - Red Alert - V-Tachy mode set to value other than Monitor + Therapy.

NTE|36||Feb 02, 2012 00:00 - Red Alert - Lead Check notification due to abrupt change in right ventricular pacing lead impedance in the past 7 days.

NTE|37||Feb 02, 2012 00:00 - Red Alert - Lead Check notification due to episode with potential right ventricular non-physiologic signal.

NTE|38||Feb 02, 2012 00:00 - Yellow Alert - Left ventricular automatic threshold detected as > programmed amplitude or suspended.

OBX|1|ST|739536^MDC_IDC_EPISODE_ID^MDC|1|MRI-16|||||F

OBX|2|DTM|739552^MDC_IDC_EPISODE_DTM^MDC|1|200101020304|||||F

OBX|3|CWE|739568^MDC_IDC_EPISODE_TYPE^MDC|1|754888
^MDC_IDC_ENUM_EPISODE_TYPE_Epis_Other^MDC|||||F

OBX|4|CWE|739600^MDC_IDC_EPISODE_VENDOR_TYPE^MDC|1|||||F

OBX|5|NM|739712^MDC_IDC_EPISODE_DURATION^MDC|1|100|s|||||F

OBX|6|ST|739680^MDC_IDC_EPISODE_DETECTION_THERAPY_DETAILS
^MDC|1|MRI Protection Mode|||||F

OBX|7|ST|739536^MDC_IDC_EPISODE_ID^MDC|2|LVAT-15|||||F

OBX|8|DTM|739552^MDC_IDC_EPISODE_DTM^MDC|2|200101020304|||||F

OBX|9|CWE|739568^MDC_IDC_EPISODE_TYPE^MDC|2|754888
^MDC_IDC_ENUM_EPISODE_TYPE_Epis_Other^MDC|||||F

OBX|10|CWE|739600^MDC_IDC_EPISODE_VENDOR_TYPE^MDC|2|||||F

OBX|11|NM|739712^MDC_IDC_EPISODE_DURATION^MDC|2|100|s|||||F

OBX|12|ST|739680^MDC_IDC_EPISODE_DETECTION_THERAPY_DETAILS^MDC|2|LV Auto|||||F

OBX|13|ST|739536^MDC_IDC_EPISODE_ID^MDC|3|RVAT-14|||||F

OBX|14|DTM|739552^MDC_IDC_EPISODE_DTM^MDC|3|200101020304|||||F

OBX|15|CWE|739568^MDC_IDC_EPISODE_TYPE^MDC|3|754888
^MDC_IDC_ENUM_EPISODE_TYPE_Epis_Other^MDC|||||F

OBX|16|CWE|739600^MDC_IDC_EPISODE_VENDOR_TYPE^MDC|3|||||F

OBX|17|NM|739712^MDC_IDC_EPISODE_DURATION^MDC|3|100|s|||||F

OBX|18|ST|739680^MDC_IDC_EPISODE_DETECTION_THERAPY_DETAILS^MDC|3|RV Auto|||||F
OBX|19|ST|739536^MDC_IDC_EPISODE_ID^MDC|4|APM-13|||||F
OBX|20|DTM|739552^MDC_IDC_EPISODE_DTM^MDC|4|200101020304|||||F
OBX|21|CWE|739568^MDC_IDC_EPISODE_TYPE^MDC|4|754886
^MDC_IDC_ENUM_EPISODE_TYPE_Epis_PeriodicEGM^MDC|||||F
OBX|22|CWE|739600^MDC_IDC_EPISODE_VENDOR_TYPE^MDC|4|771085
^MDC_IDC_ENUM_EPISODE_VENDOR_TYPE_BSX-Epis_APMRT^MDC|||||F
OBX|23|ST|739680^MDC_IDC_EPISODE_DETECTION_THERAPY_DETAILS^MDC|4|Presenting EGM|||||F
OBX|24|ST|739536^MDC_IDC_EPISODE_ID^MDC|5|PTM-12|||||F
OBX|25|DTM|739552^MDC_IDC_EPISODE_DTM^MDC|5|200101020304|||||F
OBX|26|CWE|739568^MDC_IDC_EPISODE_TYPE^MDC|5|754887
^MDC_IDC_ENUM_EPISODE_TYPE_Epis_PatientActivated^MDC|||||F
OBX|27|CWE|739600^MDC_IDC_EPISODE_VENDOR_TYPE^MDC|5|771080
^MDC_IDC_ENUM_EPISODE_VENDOR_TYPE_BSX-Epis_PTM^MDC|||||F
OBX|28|NM|739648^MDC_IDC_EPISODE_VENTRICULAR_INTERVAL_AT_DETECTION
^MDC|5|30000|ms|||||F
OBX|29|NM|739712^MDC_IDC_EPISODE_DURATION^MDC|5|100|s|||||F
OBX|30|ST|739680^MDC_IDC_EPISODE_DETECTION_THERAPY_DETAILS^MDC|5|PTM|||||F
OBX|31|ST|739536^MDC_IDC_EPISODE_ID^MDC|6|RAAT-11|||||F
OBX|32|DTM|739552^MDC_IDC_EPISODE_DTM^MDC|6|200101020304|||||F
OBX|33|CWE|739568^MDC_IDC_EPISODE_TYPE^MDC|6|754888
^MDC_IDC_ENUM_EPISODE_TYPE_Epis_Other^MDC|||||F
OBX|34|CWE|739600^MDC_IDC_EPISODE_VENDOR_TYPE^MDC|6|||||F
OBX|35|NM|739712^MDC_IDC_EPISODE_DURATION^MDC|6|100|s|||||F
OBX|36|ST|739680^MDC_IDC_EPISODE_DETECTION_THERAPY_DETAILS^MDC|6|RA Auto|||||F
OBX|37|ST|739536^MDC_IDC_EPISODE_ID^MDC|7|RYTHMIC-10|||||F
OBX|38|DTM|739552^MDC_IDC_EPISODE_DTM^MDC|7|200101020304|||||F
OBX|39|CWE|739568^MDC_IDC_EPISODE_TYPE^MDC|7|754888
^MDC_IDC_ENUM_EPISODE_TYPE_Epis_Other^MDC|||||F
OBX|40|CWE|739600^MDC_IDC_EPISODE_VENDOR_TYPE^MDC|7|771084
^MDC_IDC_ENUM_EPISODE_VENDOR_TYPE_BSX-Epis_RMS^MDC|||||F
OBX|41|NM|739648
^MDC_IDC_EPISODE_VENTRICULAR_INTERVAL_AT_DETECTION^MDC|7|30000|ms|||||F
OBX|42|NM|739712^MDC_IDC_EPISODE_DURATION^MDC|7|100|s|||||F
OBX|43|ST|739680^MDC_IDC_EPISODE_DETECTION_THERAPY_DETAILS^MDC|7|RYTHMIC|||||F
OBX|44|ST|739536^MDC_IDC_EPISODE_ID^MDC|8|RMS-9|||||F
OBX|45|DTM|739552^MDC_IDC_EPISODE_DTM^MDC|8|200101020304|||||F
OBX|46|CWE|739568^MDC_IDC_EPISODE_TYPE
^MDC|8|754888^MDC_IDC_ENUM_EPISODE_TYPE_Epis_Other^MDC|||||F
OBX|47|CWE|739600^MDC_IDC_EPISODE_VENDOR_TYPE^MDC|8|771084
^MDC_IDC_ENUM_EPISODE_VENDOR_TYPE_BSX-Epis_RMS^MDC|||||F
OBX|48|NM|739648
^MDC_IDC_EPISODE_VENTRICULAR_INTERVAL_AT_DETECTION^MDC|8|30000|ms|||||F
OBX|49|NM|739712^MDC_IDC_EPISODE_DURATION^MDC|8|100|s|||||F
OBX|50|ST|739680^MDC_IDC_EPISODE_DETECTION_THERAPY_DETAILS^MDC|8|RMS|||||F
OBX|51|ST|739536^MDC_IDC_EPISODE_ID^MDC|9|V-8|||||F
OBX|52|DTM|739552^MDC_IDC_EPISODE_DTM^MDC|9|200101020304|||||F
OBX|53|CWE|739568^MDC_IDC_EPISODE_TYPE
^MDC|9|754881^MDC_IDC_ENUM_EPISODE_TYPE_Epis_VF^MDC|||||F
OBX|54|CWE|739600^MDC_IDC_EPISODE_VENDOR_TYPE
^MDC|9|771073^MDC_IDC_ENUM_EPISODE_VENDOR_TYPE_BSX-Epis_VF^MDC|||||F
OBX|55|CWE|739584^MDC_IDC_EPISODE_TYPE_INDUCED^MDC|9|755329
^MDC_IDC_ENUM_EPISODE_TYPE_INDUCED_YES^MDC|||||F
OBX|56|NM|739648
^MDC_IDC_EPISODE_VENTRICULAR_INTERVAL_AT_DETECTION^MDC|9|30000|ms|||||F
OBX|57|NM|739712^MDC_IDC_EPISODE_DURATION^MDC|9|100|s|||||F
OBX|58|ST|739680
^MDC_IDC_EPISODE_DETECTION_THERAPY_DETAILS^MDC|9|VF ATPx1, 0.1J, 0.2J, 31Jx2|||||F
OBX|59|ST|739536^MDC_IDC_EPISODE_ID^MDC|10|PMT-7|||||F

OBX|60|DTM|739552^MDC_IDC_EPISODE_DTM^MDC|10|200101020304|||||F
 OBX|61|CWE|739568^MDC_IDC_EPISODE_TYPE^MDC|10|754888
 ^MDC_IDC_ENUM_EPISODE_TYPE_Epis_Other^MDC|||||F
 OBX|62|CWE|739600^MDC_IDC_EPISODE_VENDOR_TYPE^MDC|10|771079
 ^MDC_IDC_ENUM_EPISODE_VENDOR_TYPE_BSX-Epis_PMT^MDC|||||F
 OBX|63|NM|739648^MDC_IDC_EPISODE_VENTRICULAR_INTERVAL_AT_DETECTION
 ^MDC|10|30000|ms|||||F
 OBX|64|NM|739712^MDC_IDC_EPISODE_DURATION^MDC|10|100|s|||||F
 OBX|65|ST|739680^MDC_IDC_EPISODE_DETECTION_THERAPY_DETAILS^MDC|10|PMT|||||F
 OBX|66|ST|739536^MDC_IDC_EPISODE_ID^MDC|11|V-6|||||F
 OBX|67|DTM|739552^MDC_IDC_EPISODE_DTM^MDC|11|200101020304|||||F
 OBX|68|CWE|739568^MDC_IDC_EPISODE_TYPE^MDC|11|754882
 ^MDC_IDC_ENUM_EPISODE_TYPE_Epis_VT^MDC|||||F
 OBX|69|CWE|739600^MDC_IDC_EPISODE_VENDOR_TYPE^MDC|11|771075
 ^MDC_IDC_ENUM_EPISODE_VENDOR_TYPE_BSX-Epis_VT-1^MDC|||||F
 OBX|70|CWE|739584^MDC_IDC_EPISODE_TYPE_INDUCED^MDC|11|755329
 ^MDC_IDC_ENUM_EPISODE_TYPE_INDUCED_YES^MDC|||||F
 OBX|71|NM|739648^MDC_IDC_EPISODE_VENTRICULAR_INTERVAL_AT_DETECTION
 ^MDC|11|30000|ms|||||F
 OBX|72|NM|739712^MDC_IDC_EPISODE_DURATION^MDC|11|100|s|||||F
 OBX|73|ST|739680^MDC_IDC_EPISODE_DETECTION_THERAPY_DETAILS
 ^MDC|11|VT-1 ATPx1, 0.1J, 0.2J, 31Jx2|||||F
 OBX|74|ST|739536^MDC_IDC_EPISODE_ID^MDC|12|ATR-5|||||F
 OBX|75|DTM|739552^MDC_IDC_EPISODE_DTM^MDC|12|200101020304|||||F
 OBX|76|CWE|739568^MDC_IDC_EPISODE_TYPE^MDC|12|754883
 ^MDC_IDC_ENUM_EPISODE_TYPE_Epis_ATA^MDC|||||F
 OBX|77|CWE|739600^MDC_IDC_EPISODE_VENDOR_TYPE^MDC|12|771078
 ^MDC_IDC_ENUM_EPISODE_VENDOR_TYPE_BSX-Epis_ATR^MDC|||||F
 OBX|78|NM|739616^MDC_IDC_EPISODE_ATRIAL_INTERVAL_AT_DETECTION^MDC|12|20000|ms|||||F
 OBX|79|NM|739712^MDC_IDC_EPISODE_DURATION^MDC|12|100|s|||||F
 OBX|80|ST|739680^MDC_IDC_EPISODE_DETECTION_THERAPY_DETAILS^MDC|12|ATR|||||F
 OBX|81|ST|739536^MDC_IDC_EPISODE_ID^MDC|13|V-4|||||F
 OBX|82|DTM|739552^MDC_IDC_EPISODE_DTM^MDC|13|200101020304|||||F
 OBX|83|CWE|739568^MDC_IDC_EPISODE_TYPE^MDC|13|754882
 ^MDC_IDC_ENUM_EPISODE_TYPE_Epis_VT^MDC|||||F
 OBX|84|CWE|739600^MDC_IDC_EPISODE_VENDOR_TYPE^MDC|13|771077
 ^MDC_IDC_ENUM_EPISODE_VENDOR_TYPE_BSX-Epis_NSVT^MDC|||||F
 OBX|85|CWE|739584^MDC_IDC_EPISODE_TYPE_INDUCED^MDC|13|755329
 ^MDC_IDC_ENUM_EPISODE_TYPE_INDUCED_YES^MDC|||||F
 OBX|86|NM|739648^MDC_IDC_EPISODE_VENTRICULAR_INTERVAL_AT_DETECTION
 ^MDC|13|30000|ms|||||F
 OBX|87|NM|739712^MDC_IDC_EPISODE_DURATION^MDC|13|100|s|||||F
 OBX|88|ST|739680^MDC_IDC_EPISODE_DETECTION_THERAPY_DETAILS^MDC|13|NonSustV|||||F
 OBX|89|ST|739536^MDC_IDC_EPISODE_ID^MDC|14|V-3|||||F
 OBX|90|DTM|739552^MDC_IDC_EPISODE_DTM^MDC|14|200101020304|||||F
 OBX|91|CWE|739568^MDC_IDC_EPISODE_TYPE^MDC|14|754882
 ^MDC_IDC_ENUM_EPISODE_TYPE_Epis_VT^MDC|||||F
 OBX|92|CWE|739600^MDC_IDC_EPISODE_VENDOR_TYPE^MDC|14|771074
 ^MDC_IDC_ENUM_EPISODE_VENDOR_TYPE_BSX-Epis_VT^MDC|||||F
 OBX|93|CWE|739584^MDC_IDC_EPISODE_TYPE_INDUCED^MDC|14|755329
 ^MDC_IDC_ENUM_EPISODE_TYPE_INDUCED_YES^MDC|||||F
 OBX|94|NM|739648^MDC_IDC_EPISODE_VENTRICULAR_INTERVAL_AT_DETECTION
 ^MDC|14|30000|ms|||||F
 OBX|95|NM|739712^MDC_IDC_EPISODE_DURATION^MDC|14|100|s|||||F
 OBX|96|ST|739680^MDC_IDC_EPISODE_DETECTION_THERAPY_DETAILS
 ^MDC|14|VT ATPx1, 0.1J, 0.2J, 31Jx2|||||F
 OBX|97|ST|739536^MDC_IDC_EPISODE_ID^MDC|15|SBR-2|||||F
 OBX|98|DTM|739552^MDC_IDC_EPISODE_DTM^MDC|15|200101020304|||||F
 OBX|99|CWE|739568^MDC_IDC_EPISODE_TYPE^MDC|15|754888

```

^MDC_IDC_ENUM_EPISODE_TYPE_Epis_Other^MDC|||||F
OBX|100|CWE|739600^MDC_IDC_EPISODE_VENDOR_TYPE^MDC|15|||||F
OBX|101|NM|739616^MDC_IDC_EPISODE_ATRIAL_INTERVAL_AT_DETECTION^MDC|15|20000|ms|||||F
OBX|102|NM|739712^MDC_IDC_EPISODE_DURATION^MDC|15|100|s|||||F
OBX|103|ST|739680^MDC_IDC_EPISODE_DETECTION_THERAPY_DETAILS^MDC|15|SBR|||||F
OBX|104|ST|739536^MDC_IDC_EPISODE_ID^MDC|16|V-1|||||F
OBX|105|DTM|739552^MDC_IDC_EPISODE_DTM^MDC|16|200101020304|||||F
OBX|106|CWE|739568^MDC_IDC_EPISODE_TYPE^MDC|16|754888
^MDC_IDC_ENUM_EPISODE_TYPE_Epis_Other^MDC|||||F
OBX|107|CWE|739600^MDC_IDC_EPISODE_VENDOR_TYPE^MDC|16|||||F
OBX|108|CWE|739584^MDC_IDC_EPISODE_TYPE_INDUCED^MDC|16|755329
^MDC_IDC_ENUM_EPISODE_TYPE_INDUCED_YES^MDC|||||F
OBX|109|NM|739648^MDC_IDC_EPISODE_VENTRICULAR_INTERVAL_AT_DETECTION
^MDC|16|30000|ms|||||F
OBX|110|NM|739712^MDC_IDC_EPISODE_DURATION^MDC|16|100|s|||||F
OBX|111|ST|739680^MDC_IDC_EPISODE_DETECTION_THERAPY_DETAILS
^MDC|16|Cmd V Therapy Delivered|||||F
OBX|112|ED|18750-0^Cardiac Electrophysiology Report^LN||Application^PDF^
^Base64^{encoded PDF included here}|||||F||201001151330-0500
OBX|113|ED|18750-0^Cardiac Electrophysiology Report^LN||4|Application^PDF^
^Base64^{encoded PDF included here}|||||F||201001151330-0500
OBX|114|CWE|720897^MDC_IDC_DEV_TYPE^MDC||753665^MDC_IDC_ENUM_DEV_TYPE_IPG^MDC|||||F
OBX|115|ST|720898^MDC_IDC_DEV_MODEL^MDC||N119|||||F
OBX|116|ST|720899^MDC_IDC_DEV_SERIAL^MDC||900141|||||F
OBX|117|CWE|720900^MDC_IDC_DEV_MFG^MDC||753732^MDC_IDC_ENUM_MFG_BSX^MDC|||||F
OBX|118|DTM|720901^MDC_IDC_DEV_IMPLANT_DT^MDC||20120513|||||F
OBX|119|ST|720961^MDC_IDC_LEAD_MODEL^MDC|1|12345|||||F
OBX|120|ST|720962^MDC_IDC_LEAD_SERIAL^MDC|1|6789|||||F
OBX|121|CWE|720963^MDC_IDC_LEAD_MFG^MDC|1|753731^MDC_IDC_ENUM_MFG_BIO^MDC|||||F
OBX|122|CWE|720965^MDC_IDC_LEAD_POLARITY_TYPE^MDC|1|753793
^MDC_IDC_ENUM_LEAD_POLARITY_TYPE_UNI^MDC|||||F
OBX|123|DTM|720964^MDC_IDC_LEAD_IMPLANT_DT^MDC|1|201205|||||F
OBX|124|CWE|720966^MDC_IDC_LEAD_LOCATION^MDC|1|753858
^MDC_IDC_ENUM_LEAD_LOCATION_CHAMBER_LV^MDC|||||F
OBX|125|CWE|720967^MDC_IDC_LEAD_LOCATION_DETAIL_1
^MDC|1|753922^MDC_IDC_ENUM_LEAD_LOCATION_DETAIL_Apex^MDC|||||F
OBX|126|CWE|720968^MDC_IDC_LEAD_LOCATION_DETAIL_2^MDC|1|753925
^MDC_IDC_ENUM_LEAD_LOCATION_DETAIL_VenaCava^MDC|||||F
OBX|127|ST|720961^MDC_IDC_LEAD_MODEL^MDC|2|12345|||||F
OBX|128|ST|720962^MDC_IDC_LEAD_SERIAL^MDC|2|6789|||||F
OBX|129|CWE|720963^MDC_IDC_LEAD_MFG^MDC|2|753731^MDC_IDC_ENUM_MFG_BIO^MDC|||||F
OBX|130|CWE|720965^MDC_IDC_LEAD_POLARITY_TYPE^MDC|2|753793
^MDC_IDC_ENUM_LEAD_POLARITY_TYPE_UNI^MDC|||||F
OBX|131|DTM|720964^MDC_IDC_LEAD_IMPLANT_DT^MDC|2|201205|||||F
OBX|132|CWE|720966^MDC_IDC_LEAD_LOCATION^MDC|2|753858
^MDC_IDC_ENUM_LEAD_LOCATION_CHAMBER_LV^MDC|||||F
OBX|133|CWE|720967^MDC_IDC_LEAD_LOCATION_DETAIL_1^MDC|2|753922
^MDC_IDC_ENUM_LEAD_LOCATION_DETAIL_Apex^MDC|||||F
OBX|134|CWE|720968^MDC_IDC_LEAD_LOCATION_DETAIL_2^MDC|2|753925
^MDC_IDC_ENUM_LEAD_LOCATION_DETAIL_VenaCava^MDC|||||F
OBX|135|ST|720961^MDC_IDC_LEAD_MODEL^MDC|3|12345|||||F
OBX|136|ST|720962^MDC_IDC_LEAD_SERIAL^MDC|3|6789|||||F
OBX|137|CWE|720963^MDC_IDC_LEAD_MFG^MDC|3|753731^MDC_IDC_ENUM_MFG_BIO^MDC|||||F
OBX|138|CWE|720965^MDC_IDC_LEAD_POLARITY_TYPE^MDC|3|753793
^MDC_IDC_ENUM_LEAD_POLARITY_TYPE_UNI^MDC|||||F
OBX|139|DTM|720964^MDC_IDC_LEAD_IMPLANT_DT^MDC|3|201205|||||F
OBX|140|CWE|720966^MDC_IDC_LEAD_LOCATION^MDC|3|753858
^MDC_IDC_ENUM_LEAD_LOCATION_CHAMBER_LV^MDC|||||F
OBX|141|CWE|720967^MDC_IDC_LEAD_LOCATION_DETAIL_1^MDC|3|753922

```

```

^MDC_IDC_ENUM_LEAD_LOCATION_DETAIL_Apex^MDC|||||F
OBX|142|CWE|720968^MDC_IDC_LEAD_LOCATION_DETAIL_2^MDC|3|753925
^MDC_IDC_ENUM_LEAD_LOCATION_DETAIL_VenaCava^MDC|||||F
OBX|143|ST|720961^MDC_IDC_LEAD_MODEL^MDC|4|12345|||||F
OBX|144|ST|720962^MDC_IDC_LEAD_SERIAL^MDC|4|6789|||||F
OBX|145|CWE|720963^MDC_IDC_LEAD_MFG^MDC|4|753731^MDC_IDC_ENUM_MFG_BIO^MDC|||||F
OBX|146|CWE|720965^MDC_IDC_LEAD_POLARITY_TYPE^MDC|4|753793
^MDC_IDC_ENUM_LEAD_POLARITY_TYPE_UNI^MDC|||||F
OBX|147|DTM|720964^MDC_IDC_LEAD_IMPLANT_DT^MDC|4|201205|||||F
OBX|148|CWE|720966^MDC_IDC_LEAD_LOCATION^MDC|4|753858
^MDC_IDC_ENUM_LEAD_LOCATION_CHAMBER_LV^MDC|||||F
OBX|149|CWE|720967^MDC_IDC_LEAD_LOCATION_DETAIL_1^MDC|4|753922
^MDC_IDC_ENUM_LEAD_LOCATION_DETAIL_Apex^MDC|||||F
OBX|150|CWE|720968^MDC_IDC_LEAD_LOCATION_DETAIL_2^MDC|4|753925
^MDC_IDC_ENUM_LEAD_LOCATION_DETAIL_VenaCava^MDC|||||F
OBX|151|ST|720961^MDC_IDC_LEAD_MODEL^MDC|5|12345|||||F
OBX|152|ST|720962^MDC_IDC_LEAD_SERIAL^MDC|5|6789|||||F
OBX|153|CWE|720963^MDC_IDC_LEAD_MFG^MDC|5|753731^MDC_IDC_ENUM_MFG_BIO^MDC|||||F
OBX|154|CWE|720965^MDC_IDC_LEAD_POLARITY_TYPE^MDC|5|753793
^MDC_IDC_ENUM_LEAD_POLARITY_TYPE_UNI^MDC|||||F
OBX|155|DTM|720964^MDC_IDC_LEAD_IMPLANT_DT^MDC|5|201205|||||F
OBX|156|CWE|720966^MDC_IDC_LEAD_LOCATION^MDC|5|753858
^MDC_IDC_ENUM_LEAD_LOCATION_CHAMBER_LV^MDC|||||F
OBX|157|CWE|720967^MDC_IDC_LEAD_LOCATION_DETAIL_1^MDC|5|753922
^MDC_IDC_ENUM_LEAD_LOCATION_DETAIL_Apex^MDC|||||F
OBX|158|CWE|720968^MDC_IDC_LEAD_LOCATION_DETAIL_2^MDC|5|753925
^MDC_IDC_ENUM_LEAD_LOCATION_DETAIL_VenaCava^MDC|||||F
OBX|159|ST|720961^MDC_IDC_LEAD_MODEL^MDC|6|12345|||||F
OBX|160|ST|720962^MDC_IDC_LEAD_SERIAL^MDC|6|6789|||||F
OBX|161|CWE|720963^MDC_IDC_LEAD_MFG^MDC|6|753731^MDC_IDC_ENUM_MFG_BIO^MDC|||||F
OBX|162|CWE|720965^MDC_IDC_LEAD_POLARITY_TYPE^MDC|6|753793
^MDC_IDC_ENUM_LEAD_POLARITY_TYPE_UNI^MDC|||||F
OBX|163|DTM|720964^MDC_IDC_LEAD_IMPLANT_DT^MDC|6|201205|||||F
OBX|164|CWE|720966^MDC_IDC_LEAD_LOCATION^MDC|6|753858
^MDC_IDC_ENUM_LEAD_LOCATION_CHAMBER_LV^MDC|||||F
OBX|165|CWE|720967^MDC_IDC_LEAD_LOCATION_DETAIL_1^MDC|6|753922
^MDC_IDC_ENUM_LEAD_LOCATION_DETAIL_Apex^MDC|||||F
OBX|166|CWE|720968^MDC_IDC_LEAD_LOCATION_DETAIL_2^MDC|6|753925
^MDC_IDC_ENUM_LEAD_LOCATION_DETAIL_VenaCava^MDC|||||F
OBX|167|DTM|721025^MDC_IDC_SESS_DTM^MDC||201001021310-0600|||||F
OBX|168|CWE|721026^MDC_IDC_SESS_TYPE^MDC||754052
^MDC_IDC_ENUM_SESS_TYPE_RemoteDeviceInitiated^MDC|||||F
OBX|169|ST|721033^MDC_IDC_SESS_CLINIC_NAME
^MDC||abcdefghijklmnopqrstuvwxyzabcdefghijklmnopqrstuvwxyz|||||F
OBX|170|DTM|721216^MDC_IDC_MSMT_BATTERY_DTM^MDC||201205221755+0000|||||F
OBX|171|CWE|721280^MDC_IDC_MSMT_BATTERY_STATUS^MDC||754113
^MDC_IDC_ENUM_BATTERY_STATUS_BO5^MDC|||||F
OBX|172|NM|721472^MDC_IDC_MSMT_BATTERY_REMAINING_LONGEVITY^MDC||132|mo||>|||F
OBX|173|NM|721536^MDC_IDC_MSMT_BATTERY_REMAINING_PERCENTAGE^MDC||100|%|||||F
OBX|174|DTM|721664^MDC_IDC_MSMT_CAP_CHARGE_DTM^MDC||201205221755|||||F
OBX|175|NM|721728^MDC_IDC_MSMT_CAP_CHARGE_TIME^MDC||3.0|s|||||F
OBX|176|CWE|721856^MDC_IDC_MSMT_CAP_CHARGE_TYPE^MDC||754178
^MDC_IDC_ENUM_CHARGE_TYPE_Reformation^MDC|||||F
OBX|177|DTM|721921^MDC_IDC_MSMT_LEADCHNL_RA_DTM_START^MDC||20121211|||||F
OBX|178|DTM|721922^MDC_IDC_MSMT_LEADCHNL_RA_DTM_END^MDC||20121211|||||F
OBX|179|CWE|721984^MDC_IDC_MSMT_LEADCHNL_RA_LEAD_CHANNEL_STATUS^MDC||754241
^MDC_IDC_ENUM_CHANNEL_STATUS_CheckLead^MDC|||||F
OBX|180|NM|722051
^MDC_IDC_MSMT_LEADCHNL_RA_SENSING_INTR_AMPL_MEAN^MDC||mV||NAV|||F||20121211

```

OBX|181|DTM|721925^MDC_IDC_MSMT_LEADCHNL_RV_DTM_START^MDC||19990102|||||F
 OBX|182|DTM|721926^MDC_IDC_MSMT_LEADCHNL_RV_DTM_END^MDC||20121211|||||F
 OBX|183|CWE|721985^MDC_IDC_MSMT_LEADCHNL_RV_LEAD_CHANNEL_STATUS^MDC||754241
 ^MDC_IDC_ENUM_CHANNEL_STATUS_CheckLead^MDC|||||F
 OBX|184|NM|722055
 ^MDC_IDC_MSMT_LEADCHNL_RV_SENSING_INTR_AMPL_MEAN^MDC||0.1|mV||<|||F|||20121211
 OBX|185|DTM|721933^MDC_IDC_MSMT_LEADCHNL_LV_DTM_START^MDC||19990102|||||F
 OBX|186|DTM|721934^MDC_IDC_MSMT_LEADCHNL_LV_DTM_END^MDC||20121211|||||F
 OBX|187|CWE|721987^MDC_IDC_MSMT_LEADCHNL_LV_LEAD_CHANNEL_STATUS^MDC||754241
 ^MDC_IDC_ENUM_CHANNEL_STATUS_CheckLead^MDC|||||F
 OBX|188|NM|722063^MDC_IDC_MSMT_LEADCHNL_LV_SENSING_INTR_AMPL_MEAN
 ^MDC||25.0|mV||>|||F|||20121211
 OBX|189|CWE|722112^MDC_IDC_MSMT_LEADCHNL_RA_SENSING_POLARITY^MDC||754305
 ^MDC_IDC_ENUM_POLARITY_UNI^MDC|||||F
 OBX|190|CWE|722113^MDC_IDC_MSMT_LEADCHNL_RV_SENSING_POLARITY^MDC||754306
 ^MDC_IDC_ENUM_POLARITY_BI^MDC|||||F
 OBX|191|CWE|722115^MDC_IDC_MSMT_LEADCHNL_LV_SENSING_POLARITY^MDC|||||OFF|||F
 OBX|192|NM|722176^MDC_IDC_MSMT_LEADCHNL_RA_PACING_THRESHOLD_AMPLITUDE
 ^MDC||V||NAV|||F|||20121211
 OBX|193|NM|722177^MDC_IDC_MSMT_LEADCHNL_RV_PACING_THRESHOLD_AMPLITUDE
 ^MDC||3.0|V||>|||F|||20121211
 OBX|194|NM|722179^MDC_IDC_MSMT_LEADCHNL_LV_PACING_THRESHOLD_AMPLITUDE
 ^MDC||0.0|V|||F|||20121210
 OBX|195|NM|722240^MDC_IDC_MSMT_LEADCHNL_RA_PACING_THRESHOLD_PULSEWIDTH
 ^MDC||ms||NAV|||F|||19990102
 OBX|196|NM|722241^MDC_IDC_MSMT_LEADCHNL_RV_PACING_THRESHOLD_PULSEWIDTH
 ^MDC||0.4|ms|||||F|||19990102
 OBX|197|NM|722243^MDC_IDC_MSMT_LEADCHNL_LV_PACING_THRESHOLD_PULSEWIDTH
 ^MDC||0.4|ms|||||F|||19990102
 OBX|198|CWE|722304^MDC_IDC_MSMT_LEADCHNL_RA_PACING_THRESHOLD_MEASUREMENT_METHOD
 ^MDC||754369^MDC_IDC_ENUM_MEASUREMENT_METHOD_ProgrammerManual^MDC|||||F
 OBX|199|CWE|722305^MDC_IDC_MSMT_LEADCHNL_RV_PACING_THRESHOLD_MEASUREMENT_METHOD
 ^MDC||754369^MDC_IDC_ENUM_MEASUREMENT_METHOD_ProgrammerManual^MDC|||||F
 OBX|200|CWE|722307^MDC_IDC_MSMT_LEADCHNL_LV_PACING_THRESHOLD_MEASUREMENT_METHOD
 ^MDC||754369^MDC_IDC_ENUM_MEASUREMENT_METHOD_ProgrammerManual^MDC|||||F
 OBX|201|CWE|722368^MDC_IDC_MSMT_LEADCHNL_RA_PACING_THRESHOLD_POLARITY^MDC||754305
 ^MDC_IDC_ENUM_POLARITY_UNI^MDC|||||F
 OBX|202|CWE|722369^MDC_IDC_MSMT_LEADCHNL_RV_PACING_THRESHOLD_POLARITY^MDC||754306
 ^MDC_IDC_ENUM_POLARITY_BI^MDC|||||F
 OBX|203|CWE|722371^MDC_IDC_MSMT_LEADCHNL_LV_PACING_THRESHOLD_POLARITY^MDC||754306
 ^MDC_IDC_ENUM_POLARITY_BI^MDC|||||F
 OBX|204|NM|722432^MDC_IDC_MSMT_LEADCHNL_RA_IMPEDANCE_VALUE
 ^MDC||200|ohms||<|||F|||20121211
 OBX|205|NM|722433^MDC_IDC_MSMT_LEADCHNL_RV_IMPEDANCE_VALUE
 ^MDC||2000|ohms||>|||F|||20121211
 OBX|206|NM|722435^MDC_IDC_MSMT_LEADCHNL_LV_IMPEDANCE_VALUE
 ^MDC||201|ohms|||||F|||20121209
 OBX|207|CWE|722496^MDC_IDC_MSMT_LEADCHNL_RA_IMPEDANCE_POLARITY^MDC||754305
 ^MDC_IDC_ENUM_POLARITY_UNI^MDC|||||F
 OBX|208|CWE|722497^MDC_IDC_MSMT_LEADCHNL_RV_IMPEDANCE_POLARITY^MDC||754305
 ^MDC_IDC_ENUM_POLARITY_UNI^MDC|||||F
 OBX|209|CWE|722499^MDC_IDC_MSMT_LEADCHNL_LV_IMPEDANCE_POLARITY^MDC||754306
 ^MDC_IDC_ENUM_POLARITY_BI^MDC|||||F
 OBX|210|DTM|722560^MDC_IDC_MSMT_LEADHVCHNL_DTM_START^MDC||1|20121109|||||F
 OBX|211|NM|722624^MDC_IDC_MSMT_LEADHVCHNL_IMPEDANCE^MDC||1|ohms||NAV|||F
 OBX|212|CWE|722688^MDC_IDC_MSMT_LEADHVCHNL_MEASUREMENT_TYPE
 ^MDC||1|754433^MDC_IDC_ENUM_HVCHNL_MEASUREMENT_TYPE_LowVoltage^MDC|||||F
 OBX|213|CWE|722752^MDC_IDC_MSMT_LEADHVCHNL_STATUS^MDC||1|754241
 ^MDC_IDC_ENUM_CHANNEL_STATUS_CheckLead^MDC|||||F

OBX|214|NM|729344^MDC_IDC_SET_CRT_LVRV_DELAY^MDC||-100|ms|||||F
 OBX|215|CWE|729408^MDC_IDC_SET_CRT_PACED_CHAMBERS^MDC||755265
 ^MDC_IDC_ENUM_CRT_PACED_CHAMBERS_RV_Only^MDC|||||F
 OBX|216|NM|729536^MDC_IDC_SET_LEADCHNL_RA_SENSING_SENSITIVITY^MDC||0.5|mV|||||F
 OBX|217|NM|729537^MDC_IDC_SET_LEADCHNL_RV_SENSING_SENSITIVITY^MDC||0.9|mV|||||F
 OBX|218|NM|729539^MDC_IDC_SET_LEADCHNL_LV_SENSING_SENSITIVITY^MDC||1.0|mV|||||F
 OBX|219|CWE|729600^MDC_IDC_SET_LEADCHNL_RA_SENSING_POLARITY^MDC|||||OFF|||F
 OBX|220|CWE|729601^MDC_IDC_SET_LEADCHNL_RV_SENSING_POLARITY^MDC||754305
 ^MDC_IDC_ENUM_POLARITY_UNI^MDC|||||F
 OBX|221|CWE|729676^MDC_IDC_SET_LEADCHNL_LV_SENSING_ANODE_LOCATION^MDC||754498
 ^MDC_IDC_ENUM_ELECTRODE_LOCATION_RV^MDC|||||F
 OBX|222|CWE|729740^MDC_IDC_SET_LEADCHNL_LV_SENSING_ANODE_ELECTRODE^MDC|||||OFF|||F
 OBX|223|CWE|729804^MDC_IDC_SET_LEADCHNL_LV_SENSING_CATHODE_LOCATION^MDC|||||OFF|||F
 OBX|224|CWE|729868^MDC_IDC_SET_LEADCHNL_LV_SENSING_CATHODE_ELECTRODE
 ^MDC||754561^MDC_IDC_ENUM_ELECTRODE_NAME_Tip^MDC|||||F
 OBX|225|CWE|729920^MDC_IDC_SET_LEADCHNL_RA_SENSING_ADAPTATION_MODE^MDC||754625
 ^MDC_IDC_ENUM_SENSING_ADAPTATION_MODE_AdaptiveSensing^MDC|||||F
 OBX|226|CWE|729921^MDC_IDC_SET_LEADCHNL_RV_SENSING_ADAPTATION_MODE^MDC||754625
 ^MDC_IDC_ENUM_SENSING_ADAPTATION_MODE_AdaptiveSensing^MDC|||||F
 OBX|227|CWE|729923^MDC_IDC_SET_LEADCHNL_LV_SENSING_ADAPTATION_MODE^MDC||754626
 ^MDC_IDC_ENUM_SENSING_ADAPTATION_MODE_FixedSensing^MDC|||||F
 OBX|228|NM|729984^MDC_IDC_SET_LEADCHNL_RA_PACING_AMPLITUDE^MDC||5.1|V|||||F
 OBX|229|NM|729985^MDC_IDC_SET_LEADCHNL_RV_PACING_AMPLITUDE^MDC||5.0|V|||||F
 OBX|230|NM|729987^MDC_IDC_SET_LEADCHNL_LV_PACING_AMPLITUDE^MDC||2.8|V|||||F
 OBX|231|NM|730048^MDC_IDC_SET_LEADCHNL_RA_PACING_PULSEWIDTH^MDC||100.0|ms|||||F
 OBX|232|NM|730049^MDC_IDC_SET_LEADCHNL_RV_PACING_PULSEWIDTH^MDC||200.0|ms|||||F
 OBX|233|NM|730051^MDC_IDC_SET_LEADCHNL_LV_PACING_PULSEWIDTH^MDC||300.0|ms|||||F
 OBX|234|CWE|730112^MDC_IDC_SET_LEADCHNL_RA_PACING_POLARITY^MDC||754305
 ^MDC_IDC_ENUM_POLARITY_UNI^MDC|||||F
 OBX|235|CWE|730113^MDC_IDC_SET_LEADCHNL_RV_PACING_POLARITY^MDC||754305
 ^MDC_IDC_ENUM_POLARITY_UNI^MDC|||||F
 OBX|236|CWE|730188^MDC_IDC_SET_LEADCHNL_LV_PACING_ANODE_LOCATION^MDC||754498
 ^MDC_IDC_ENUM_ELECTRODE_LOCATION_RV^MDC|||||F
 OBX|237|CWE|730252^MDC_IDC_SET_LEADCHNL_LV_PACING_ANODE_ELECTRODE^MDC||754564
 ^MDC_IDC_ENUM_ELECTRODE_NAME_Ring2^MDC|||||F
 OBX|238|CWE|730316^MDC_IDC_SET_LEADCHNL_LV_PACING_CATHODE_LOCATION^MDC||754500
 ^MDC_IDC_ENUM_ELECTRODE_LOCATION_LV^MDC|||||F
 OBX|239|CWE|730380^MDC_IDC_SET_LEADCHNL_LV_PACING_CATHODE_ELECTRODE^MDC||754566
 ^MDC_IDC_ENUM_ELECTRODE_NAME_Ring4^MDC|||||F
 OBX|240|CWE|730432^MDC_IDC_SET_LEADCHNL_RA_PACING_CAPTURE_MODE^MDC||754690
 ^MDC_IDC_ENUM_PACING_CAPTURE_MODE_FixedPacing^MDC|||||F
 OBX|241|CWE|730433^MDC_IDC_SET_LEADCHNL_RV_PACING_CAPTURE_MODE^MDC||754691
 ^MDC_IDC_ENUM_PACING_CAPTURE_MODE_MonitorCapture^MDC|||||F
 OBX|242|CWE|730435^MDC_IDC_SET_LEADCHNL_LV_PACING_CAPTURE_MODE^MDC||754690
 ^MDC_IDC_ENUM_PACING_CAPTURE_MODE_FixedPacing^MDC|||||F
 OBX|243|CWE|730752^MDC_IDC_SET_BRADY_MODE^MDC||754760^MDC_IDC_ENUM_BRADY_MODE_DDD
 ^MDC|||||F
 OBX|244|NM|730880^MDC_IDC_SET_BRADY_LOWRATE^MDC||100|{beats}/min|||||F
 OBX|245|ST|731072^MDC_IDC_SET_BRADY_SENSOR_TYPE^MDC||Accelerometer + MV|||||F
 OBX|246|NM|731136^MDC_IDC_SET_BRADY_MAX_TRACKING_RATE^MDC||130|{beats}/min|||||F
 OBX|247|NM|731200^MDC_IDC_SET_BRADY_MAX_SENSOR_RATE^MDC||180|{beats}/min|||||F
 OBX|248|NM|731265^MDC_IDC_SET_BRADY_SAV_DELAY_HIGH^MDC||102|ms|||||F
 OBX|249|NM|731266^MDC_IDC_SET_BRADY_SAV_DELAY_LOW^MDC||101|ms|||||F
 OBX|250|NM|731329^MDC_IDC_SET_BRADY_PAV_DELAY_HIGH^MDC||104|ms|||||F
 OBX|251|NM|731330^MDC_IDC_SET_BRADY_PAV_DELAY_LOW^MDC||103|ms|||||F
 OBX|252|CWE|731392^MDC_IDC_SET_BRADY_AT_MODE_SWITCH_MODE^MDC||754763
 ^MDC_IDC_ENUM_BRADY_MODE_DDIR^MDC|||||F
 OBX|253|NM|731456^MDC_IDC_SET_BRADY_AT_MODE_SWITCH_RATE^MDC||130|{beats}/min|||||F
 OBX|254|CWE|731520^MDC_IDC_SET_TACHYTHERAPY_VSTAT^MDC||754817

```
^MDC_IDC_ENUM_THERAPY_STATUS_On^MDC|||||F
OBX|255|CWE|731648^MDC_IDC_SET_ZONE_TYPE^MDC|1|754945^MDC_IDC_ENUM_ZONE_TYPE_Zone_VF
^MDC|||||F
OBX|256|CWE|731712^MDC_IDC_SET_ZONE_VENDOR_TYPE^MDC|1|771139
^MDC_IDC_ENUM_ZONE_VENDOR_TYPE_BSX-Zone_VF^MDC|||||F
OBX|257|CWE|731776^MDC_IDC_SET_ZONE_STATUS^MDC|1|755009
^MDC_IDC_ENUM_ZONE_STATUS_Active^MDC|||||F
OBX|258|NM|731840^MDC_IDC_SET_ZONE_DETECTION_INTERVAL^MDC|1|462|ms|||||F
OBX|259|CWE|732097^MDC_IDC_SET_ZONE_TYPE_ATP_1^MDC|1|755073
^MDC_IDC_ENUM_ATP_TYPE_Burst^MDC|||||F
OBX|260|NM|732161^MDC_IDC_SET_ZONE_NUM_ATP_SEQS_1^MDC|1|1|||||F
OBX|261|NM|732225^MDC_IDC_SET_ZONE_SHOCK_ENERGY_1^MDC|1|21.1|J|||||F
OBX|262|NM|732289^MDC_IDC_SET_ZONE_NUM_SHOCKS_1^MDC|1|1|||||F
OBX|263|NM|732226^MDC_IDC_SET_ZONE_SHOCK_ENERGY_2^MDC|1|31.1|J|||||F
OBX|264|NM|732290^MDC_IDC_SET_ZONE_NUM_SHOCKS_2^MDC|1|1|||||F
OBX|265|NM|732227^MDC_IDC_SET_ZONE_SHOCK_ENERGY_3^MDC|1|41.1|J|||||F
OBX|266|NM|732291^MDC_IDC_SET_ZONE_NUM_SHOCKS_3^MDC|1|6|||||F
OBX|267|CWE|731648^MDC_IDC_SET_ZONE_TYPE^MDC|2|754946^MDC_IDC_ENUM_ZONE_TYPE_Zone_VT
^MDC|||||F
OBX|268|CWE|731712^MDC_IDC_SET_ZONE_VENDOR_TYPE^MDC|2|771137
^MDC_IDC_ENUM_ZONE_VENDOR_TYPE_BSX-Zone_VT^MDC|||||F
OBX|269|CWE|731776^MDC_IDC_SET_ZONE_STATUS^MDC|2|755009
^MDC_IDC_ENUM_ZONE_STATUS_Active^MDC|||||F
OBX|270|NM|731840^MDC_IDC_SET_ZONE_DETECTION_INTERVAL^MDC|2|463|ms|||||F
OBX|271|CWE|732097^MDC_IDC_SET_ZONE_TYPE_ATP_1^MDC|2|755073
^MDC_IDC_ENUM_ATP_TYPE_Burst^MDC|||||F
OBX|272|NM|732161^MDC_IDC_SET_ZONE_NUM_ATP_SEQS_1^MDC|2|2|||||F
OBX|273|CWE|732098^MDC_IDC_SET_ZONE_TYPE_ATP_2^MDC|2|755074
^MDC_IDC_ENUM_ATP_TYPE_Ramp^MDC|||||F
OBX|274|NM|732162^MDC_IDC_SET_ZONE_NUM_ATP_SEQS_2^MDC|2|3|||||F
OBX|275|NM|732225^MDC_IDC_SET_ZONE_SHOCK_ENERGY_1^MDC|2|22.2|J|||||F
OBX|276|NM|732289^MDC_IDC_SET_ZONE_NUM_SHOCKS_1^MDC|2|1|||||F
OBX|277|NM|732226^MDC_IDC_SET_ZONE_SHOCK_ENERGY_2^MDC|2|32.2|J|||||F
OBX|278|NM|732290^MDC_IDC_SET_ZONE_NUM_SHOCKS_2^MDC|2|1|||||F
OBX|279|NM|732227^MDC_IDC_SET_ZONE_SHOCK_ENERGY_3^MDC|2|42.2|J|||||F
OBX|280|NM|732291^MDC_IDC_SET_ZONE_NUM_SHOCKS_3^MDC|2|3|||||F
OBX|281|CWE|731648^MDC_IDC_SET_ZONE_TYPE^MDC|3|754946^MDC_IDC_ENUM_ZONE_TYPE_Zone_VT
^MDC|||||F
OBX|282|CWE|731712^MDC_IDC_SET_ZONE_VENDOR_TYPE^MDC|3|771138
^MDC_IDC_ENUM_ZONE_VENDOR_TYPE_BSX-Zone_VT-1^MDC|||||F
OBX|283|CWE|731776^MDC_IDC_SET_ZONE_STATUS^MDC|3|755009
^MDC_IDC_ENUM_ZONE_STATUS_Active^MDC|||||F
OBX|284|NM|731840^MDC_IDC_SET_ZONE_DETECTION_INTERVAL^MDC|3|465|ms|||||F
OBX|285|CWE|732097^MDC_IDC_SET_ZONE_TYPE_ATP_1^MDC|3|755074
^MDC_IDC_ENUM_ATP_TYPE_Ramp^MDC|||||F
OBX|286|NM|732161^MDC_IDC_SET_ZONE_NUM_ATP_SEQS_1^MDC|3|4|||||F
OBX|287|CWE|732098^MDC_IDC_SET_ZONE_TYPE_ATP_2^MDC|3|755076
^MDC_IDC_ENUM_ATP_TYPE_RampScan^MDC|||||F
OBX|288|NM|732162^MDC_IDC_SET_ZONE_NUM_ATP_SEQS_2^MDC|3|5|||||F
OBX|289|NM|732225^MDC_IDC_SET_ZONE_SHOCK_ENERGY_1^MDC|3|23.2|J|||||F
OBX|290|NM|732289^MDC_IDC_SET_ZONE_NUM_SHOCKS_1^MDC|3|1|||||F
OBX|291|NM|732226^MDC_IDC_SET_ZONE_SHOCK_ENERGY_2^MDC|3|33.2|J|||||F
OBX|292|NM|732290^MDC_IDC_SET_ZONE_NUM_SHOCKS_2^MDC|3|1|||||F
OBX|293|NM|732227^MDC_IDC_SET_ZONE_SHOCK_ENERGY_3^MDC|3|43.2|J|||||F
OBX|294|NM|732291^MDC_IDC_SET_ZONE_NUM_SHOCKS_3^MDC|3|2|||||F
OBX|295|DTM|737489^MDC_IDC_STAT_DTM_START^MDC||20120522|||||F
OBX|296|DTM|737490^MDC_IDC_STAT_DTM_END^MDC||20120522|||||F
OBX|297|DTM|737505^MDC_IDC_STAT_BRADY_DTM_START^MDC||20120522|||||F
OBX|298|DTM|737506^MDC_IDC_STAT_BRADY_DTM_END^MDC||20120522|||||F
```




OBX|299|NM|737520^MDC_IDC_STAT_BRADY_RA_PERCENT_PACED^MDC|10%|||||F
 OBX|300|NM|737536^MDC_IDC_STAT_BRADY_RV_PERCENT_PACED^MDC|10%|||||F
 OBX|301|DTM|737777^MDC_IDC_STAT_CRT_DTM_START^MDC|20120522|||||F
 OBX|302|DTM|737778^MDC_IDC_STAT_CRT_DTM_END^MDC|20120522|||||F
 OBX|303|NM|737792^MDC_IDC_STAT_CRT_LV_PERCENT_PACED^MDC|10%|||||F
 OBX|304|CWE|737952^MDC_IDC_STAT_EPISODE_TYPE^MDC|1|754882
 ^MDC_IDC_ENUM_EPISODE_TYPE_Epis_VT^MDC|||||F
 OBX|305|CWE|737984^MDC_IDC_STAT_EPISODE_VENDOR_TYPE^MDC|1|771077
 ^MDC_IDC_ENUM_EPISODE_VENDOR_TYPE_BSX-Epis_NSVT^MDC|||||F
 OBX|306|NM|738000^MDC_IDC_STAT_EPISODE_RECENT_COUNT^MDC|1|0|||||F
 OBX|307|DTM|738017^MDC_IDC_STAT_EPISODE_RECENT_COUNT_DTM_START^MDC|1|20120522|||||F
 OBX|308|DTM|738018^MDC_IDC_STAT_EPISODE_RECENT_COUNT_DTM_END^MDC|1|20120522|||||F
 OBX|309|CWE|737952^MDC_IDC_STAT_EPISODE_TYPE^MDC|1|754882
 ^MDC_IDC_ENUM_EPISODE_TYPE_Epis_VT^MDC|||||F
 OBX|310|CWE|737984^MDC_IDC_STAT_EPISODE_VENDOR_TYPE^MDC|1|||||F
 OBX|311|NM|738000^MDC_IDC_STAT_EPISODE_RECENT_COUNT^MDC|1|0|||||F
 OBX|312|DTM|738017^MDC_IDC_STAT_EPISODE_RECENT_COUNT_DTM_START^MDC|1|20120522|||||F
 OBX|313|DTM|738018^MDC_IDC_STAT_EPISODE_RECENT_COUNT_DTM_END^MDC|1|20120522|||||F
 OBX|314|CWE|737952^MDC_IDC_STAT_EPISODE_TYPE^MDC|2|754884
 ^MDC_IDC_ENUM_EPISODE_TYPE_Epis_SVT^MDC|||||F
 OBX|315|CWE|737984^MDC_IDC_STAT_EPISODE_VENDOR_TYPE^MDC|2|771076
 MDC_IDC_ENUM_EPISODE_VENDOR_TYPE_BSX-Epis_SVT^MDC|||||F
 OBX|316|NM|738000^MDC_IDC_STAT_EPISODE_RECENT_COUNT^MDC|2|0|||||F
 OBX|317|DTM|738017^MDC_IDC_STAT_EPISODE_RECENT_COUNT_DTM_START^MDC|2|20120522|||||F
 OBX|318|DTM|738018^MDC_IDC_STAT_EPISODE_RECENT_COUNT_DTM_END^MDC|2|20120522|||||F
 OBX|319|CWE|737952^MDC_IDC_STAT_EPISODE_TYPE^MDC|4|754883
 ^MDC_IDC_ENUM_EPISODE_TYPE_Epis_ATA^MDC|||||F
 OBX|320|CWE|737984^MDC_IDC_STAT_EPISODE_VENDOR_TYPE^MDC|4|771078
 ^MDC_IDC_ENUM_EPISODE_VENDOR_TYPE_BSX-Epis_ATR^MDC|||||F
 OBX|321|NM|738000^MDC_IDC_STAT_EPISODE_RECENT_COUNT^MDC|4|0|||||F
 OBX|322|DTM|738017^MDC_IDC_STAT_EPISODE_RECENT_COUNT_DTM_START^MDC|4|20120522|||||F
 OBX|323|DTM|738018^MDC_IDC_STAT_EPISODE_RECENT_COUNT_DTM_END^MDC|4|20120522|||||F
 OBX|324|CWE|737952^MDC_IDC_STAT_EPISODE_TYPE^MDC|5|754888
 ^MDC_IDC_ENUM_EPISODE_TYPE_Epis_Other^MDC|||||F
 OBX|325|CWE|737984^MDC_IDC_STAT_EPISODE_VENDOR_TYPE^MDC|5|||||F
 OBX|326|NM|738000^MDC_IDC_STAT_EPISODE_RECENT_COUNT^MDC|5|0|||||F
 OBX|327|DTM|738017^MDC_IDC_STAT_EPISODE_RECENT_COUNT_DTM_START^MDC|5|20120522|||||F
 OBX|328|DTM|738018^MDC_IDC_STAT_EPISODE_RECENT_COUNT_DTM_END^MDC|5|20120522|||||F
 OBX|329|CWE|737952^MDC_IDC_STAT_EPISODE_TYPE^MDC|6|754881
 ^MDC_IDC_ENUM_EPISODE_TYPE_Epis_VF^MDC|||||F
 OBX|330|CWE|737984^MDC_IDC_STAT_EPISODE_VENDOR_TYPE^MDC|6|771073
 ^MDC_IDC_ENUM_EPISODE_VENDOR_TYPE_BSX-Epis_VF^MDC|||||F
 OBX|331|NM|738000^MDC_IDC_STAT_EPISODE_RECENT_COUNT^MDC|6|1|||||F
 OBX|332|DTM|738017^MDC_IDC_STAT_EPISODE_RECENT_COUNT_DTM_START^MDC|6|20120522|||||F
 OBX|333|DTM|738018^MDC_IDC_STAT_EPISODE_RECENT_COUNT_DTM_END^MDC|6|20120522|||||F
 OBX|334|CWE|737952^MDC_IDC_STAT_EPISODE_TYPE^MDC|7|754882
 ^MDC_IDC_ENUM_EPISODE_TYPE_Epis_VT^MDC|||||F
 OBX|335|CWE|737984^MDC_IDC_STAT_EPISODE_VENDOR_TYPE^MDC|7|771074
 ^MDC_IDC_ENUM_EPISODE_VENDOR_TYPE_BSX-Epis_VT^MDC|||||F
 OBX|336|NM|738000^MDC_IDC_STAT_EPISODE_RECENT_COUNT^MDC|7|2|||||F
 OBX|337|DTM|738017^MDC_IDC_STAT_EPISODE_RECENT_COUNT_DTM_START^MDC|7|20120522|||||F
 OBX|338|DTM|738018^MDC_IDC_STAT_EPISODE_RECENT_COUNT_DTM_END^MDC|7|20120522|||||F
 OBX|339|CWE|737952^MDC_IDC_STAT_EPISODE_TYPE^MDC|8|754882
 ^MDC_IDC_ENUM_EPISODE_TYPE_Epis_VT^MDC|||||F
 OBX|340|CWE|737984^MDC_IDC_STAT_EPISODE_VENDOR_TYPE^MDC|8|771075
 ^MDC_IDC_ENUM_EPISODE_VENDOR_TYPE_BSX-Epis_VT-1^MDC|||||F
 OBX|341|NM|738000^MDC_IDC_STAT_EPISODE_RECENT_COUNT^MDC|8|3|||||F
 OBX|342|DTM|738017^MDC_IDC_STAT_EPISODE_RECENT_COUNT_DTM_START^MDC|8|20120522|||||F
 OBX|343|DTM|738018^MDC_IDC_STAT_EPISODE_RECENT_COUNT_DTM_END^MDC|8|20120522|||||F

OBX|344|CWE|737952^MDC_IDC_STAT_EPISODE_TYPE^MDC|9|754884
^MDC_IDC_ENUM_EPISODE_TYPE_Epis_Monitor^MDC|||||F
OBX|345|CWE|737984^MDC_IDC_STAT_EPISODE_VENDOR_TYPE^MDC|9|||||F
OBX|346|NM|738000^MDC_IDC_STAT_EPISODE_RECENT_COUNT^MDC|9|4|||||F
OBX|347|DTM|738017^MDC_IDC_STAT_EPISODE_RECENT_COUNT_DTM_START^MDC|9|20120522|||||F
OBX|348|DTM|738018^MDC_IDC_STAT_EPISODE_RECENT_COUNT_DTM_END^MDC|9|20120522|||||F

Outdated version. Do not use.
Version überholt. Nicht verwenden.
Version obsolète. Ne pas utiliser.
Versión obsoleta. No utilizar.
Versione obsoleta. Non utilizzate.
Verouderde versie. Niet gebruiken.
Föråldrad version. Använd ej.
Παλιά έκδοση. Μην την χρησιμοποιείτε.
Versão obsoleta. Não utilize.
Forældet version. Må ikke anvendes.
Zastaralá verze. Nepoužívat.
Utdatert versjon. Skal ikke brukes.
Zastaraná verzia. Nepoužívať.
Elavult verzió. Ne használja!
Wersja nieaktualna. Nie używać.

Σύμβολα που χρησιμοποιούνται στις ετικέτες

ΠΑΡΑΡΤΗΜΑ Α

Σύμβολο	Σημασία
	Κατασκευαστής
	Εξουσιοδοτημένος Αντιπρόσωπος στην Ευρωπαϊκή Κοινότητα
 CE 0086	Σήμανση συμμόρφωσης CE με την ταυτοποίηση του ενημερωμένου φορέα που εξουσιοδοτεί τη χρήση της σήμανσης

Outdated version. Do not use.
 Version überholt. Nicht verwenden.
 Version obsolète. Ne pas utiliser.
 Versión obsoleta. No utilizar.
 Versiões obsoletas. Não utilize.
 Verouderde versie. Niet gebruiken.
 Föråldrad version. Använd ej.
 Παλιά έκδοση. Μην την χρησιμοποιείτε.
 Versão obsoleta. Não utilize.
 Forældet version. Må ikke anvendes.
 Zastaralá verze. Nepoužívat.
 Utdatert versjon. Skal ikke brukes.
 Zastaraná verzia. Nepoužívať.
 Elavult verzió. Ne használja!
 Wersja nieaktualna. Nie używać.

Outdated version. Do not use.
Version überholt. Nicht verwenden.
Version obsolète. Ne pas utiliser.
Versión obsoleta. No utilizar.
Versione obsoleta. Non utilizzare.
Verouderde versie. Niet gebruiken.
Föråldrad version. Använd ej.
Παλιά έκδοση. Μην την χρησιμοποιείτε.
Versão obsoleta. Não utilize.
Forældet version. Må ikke anvendes.
Zastaralá verze. Nepoužívat.
Utdatert versjon. Skal ikke brukes.
Zastaraná verzia. Nepoužívať.
Elavult verzió. Ne használja!
Wersja nieaktualna. Nie używać.

Outdated version. Do not use.
Version überholt. Nicht verwenden.
Version obsolète. Ne pas utiliser.
Versión obsoleta. No utilizar.
Versione obsoleta. Non utilizzare.
Verouderde versie. Niet gebruiken.
Föråldrad version. Använd ej.
Παλιά έκδοση. Μην την χρησιμοποιείτε.
Versão obsoleta. Não utilize.
Forældet version. Må ikke anvendes.
Zastaralá verze. Nepoužívat.
Utdatert versjon. Skal ikke brukes.
Zastaraná verzia. Nepoužívať.
Elavult verzió. Ne használja!
Wersja nieaktualna. Nie używać.



Boston Scientific Corporation
4100 Hamline Avenue North
St. Paul, MN 55112-5798 USA

EC REP

Guidant Europe NV/SA; Boston Scientific
Green Square, Lambroekstraat 5D
1831 Diegem, Belgium

www.bostonscientific.com

1.800.CARDIAC (227.3422)

+1.651.582.4000

© 2015 Boston Scientific Corporation or its affiliates.

All rights reserved.

359273-030 EL Europe 2015-02

Outdated version. Do not use.
Version überholt. Nicht verwenden.
Version obsolète. Ne pas utiliser.
Versión obsoleta. No utilizar.
Versione obsoleta. Non utilizzate.
Verouderde versie. Niet gebruiken.
Föråldrad version. Använd ej.
Παλιά έκδοση. Μην την χρησιμοποιείτε.
Versão obsoleta. Não utilize.
Forældet version. Må ikke anvendes.
Zastaralá verzia. Nepoužívať.
Utdatert versjon. Skal ikke brukes.
Zastaraná verzia. Nepoužívať.
Elavult verzió. Ne használja!
Wersja nieaktualna. Nie używać.

C E0086

